

オルソポジトロニウムの寿命 測定

課題演習A2 2015年度後期

天野 良樹

岩島 呂帆

岡本 慎太郎

近藤 千尋

・ 発表の流れ

1 実験目的

2 ポジトロニウムとは

3 実験説明

4 データ解析

5 考察

1. 実験目的

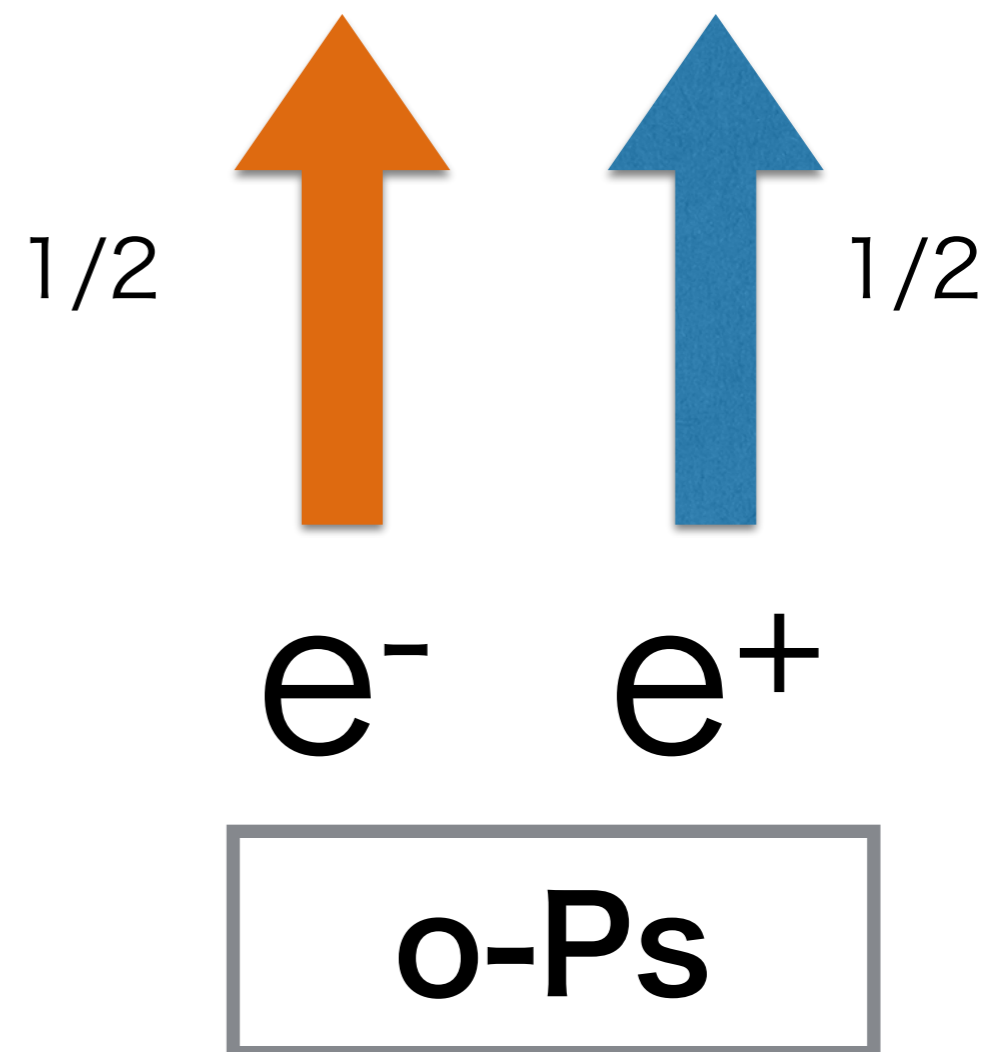
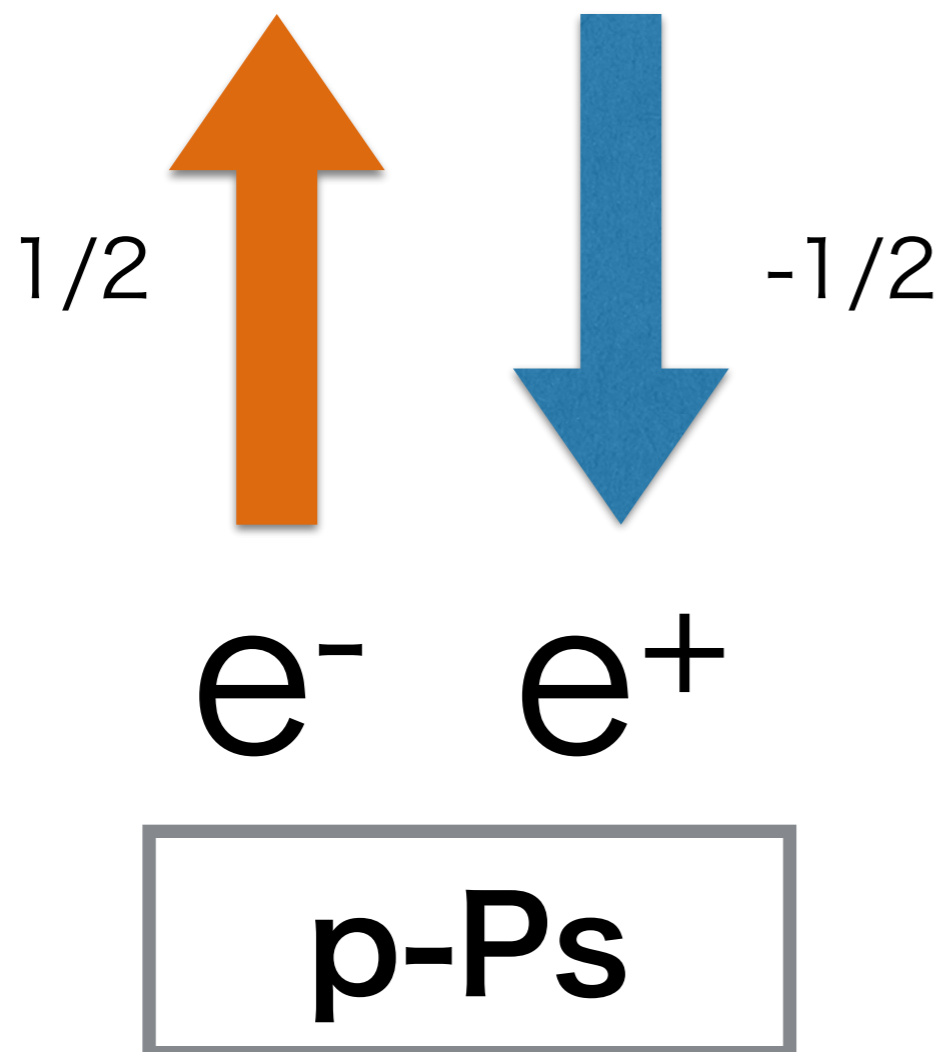
- ・ 電子と陽電子の対消滅は量子電磁力学（QED）の検証に用いられる素粒子反応の1つ
- ・ ポジトロニウム（Ps）は電子と陽電子が束縛されて対になった一種の原子



- ・ Psの寿命を測定してQEDの理論値と比べてみる！

2. ポジトロニウムとは

- Psは構成する電子と陽電子のスピンの向きによって2種類に分類できる。スピン1重項 ($S=0$) のものをパラポジトロニウム (p-Ps)、スピン3重項 ($S=1$) のものをオルソポジトロニウム (o-Ps) と呼ぶ。



- ・ p-Psは崩壊すると2個の光子を、o-Psは崩壊すると3個の光子を放出する。

- ・ それぞれの寿命の理論値は

$$\tau_{\text{p-Ps}}=0.125 \text{ [ns]}$$

$$\tau_{\text{o-Ps}}=139 \text{ [ns]}$$

となる。

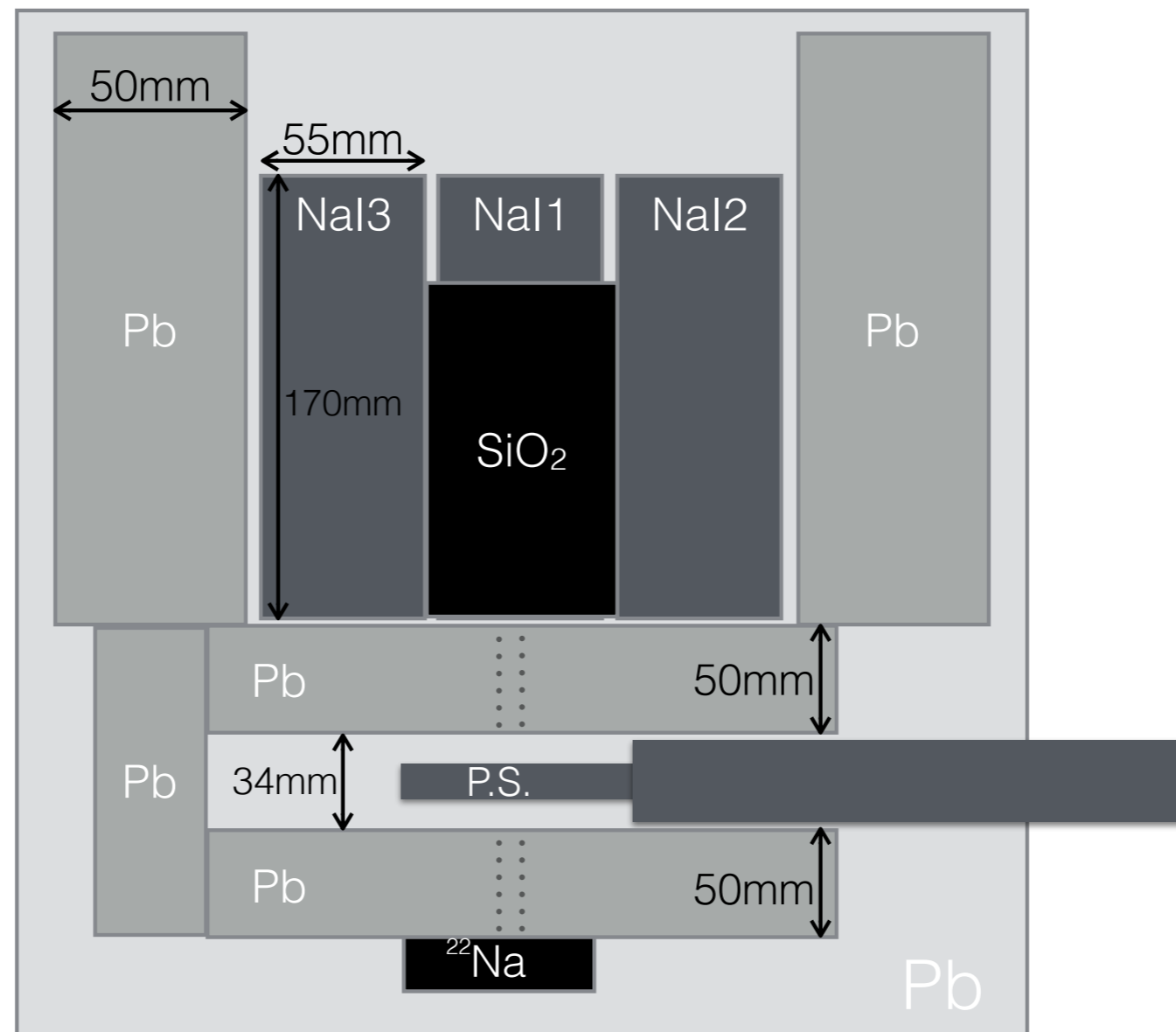
3. 実験

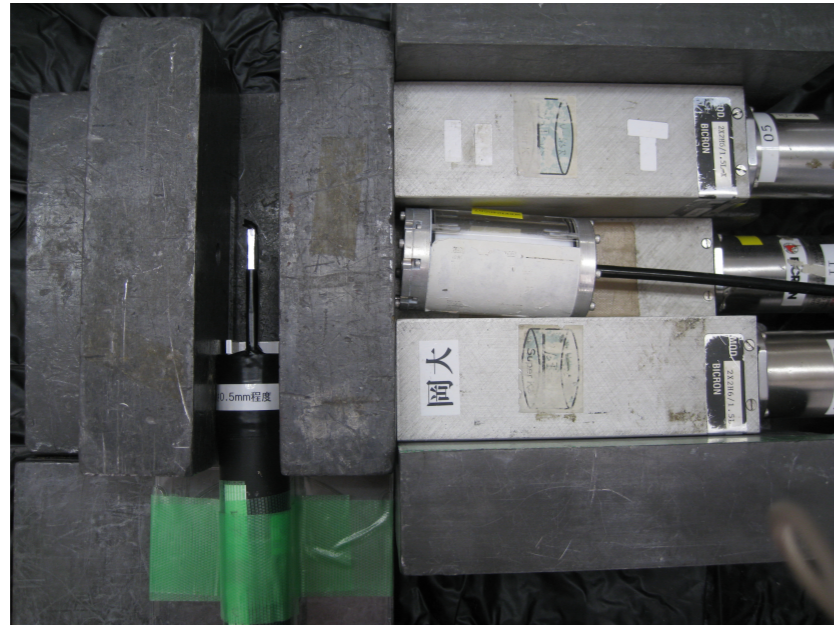
- a) 実験原理
- b) セットアップ
- c) 回路

実験原理

線源 ^{22}Na の β^+ 崩壊によって放出される e^+ をシリカパウダーに向けて入射させると $p\text{-Ps}$, $o\text{-Ps}$ を形成する。そこで、線源とシリカパウダーの間にプラスチックシンチレーター(P.S.)を置き e^+ を検出(e^+ はそのままP.S.を通過する)。また、シリカパウダーをNaIシンチレーターで囲みPsの崩壊による γ 線を検出し、それぞれが検出された時間の差を計測することでPsの寿命を測定する。

セットアップ模式図





(i)装置の配置

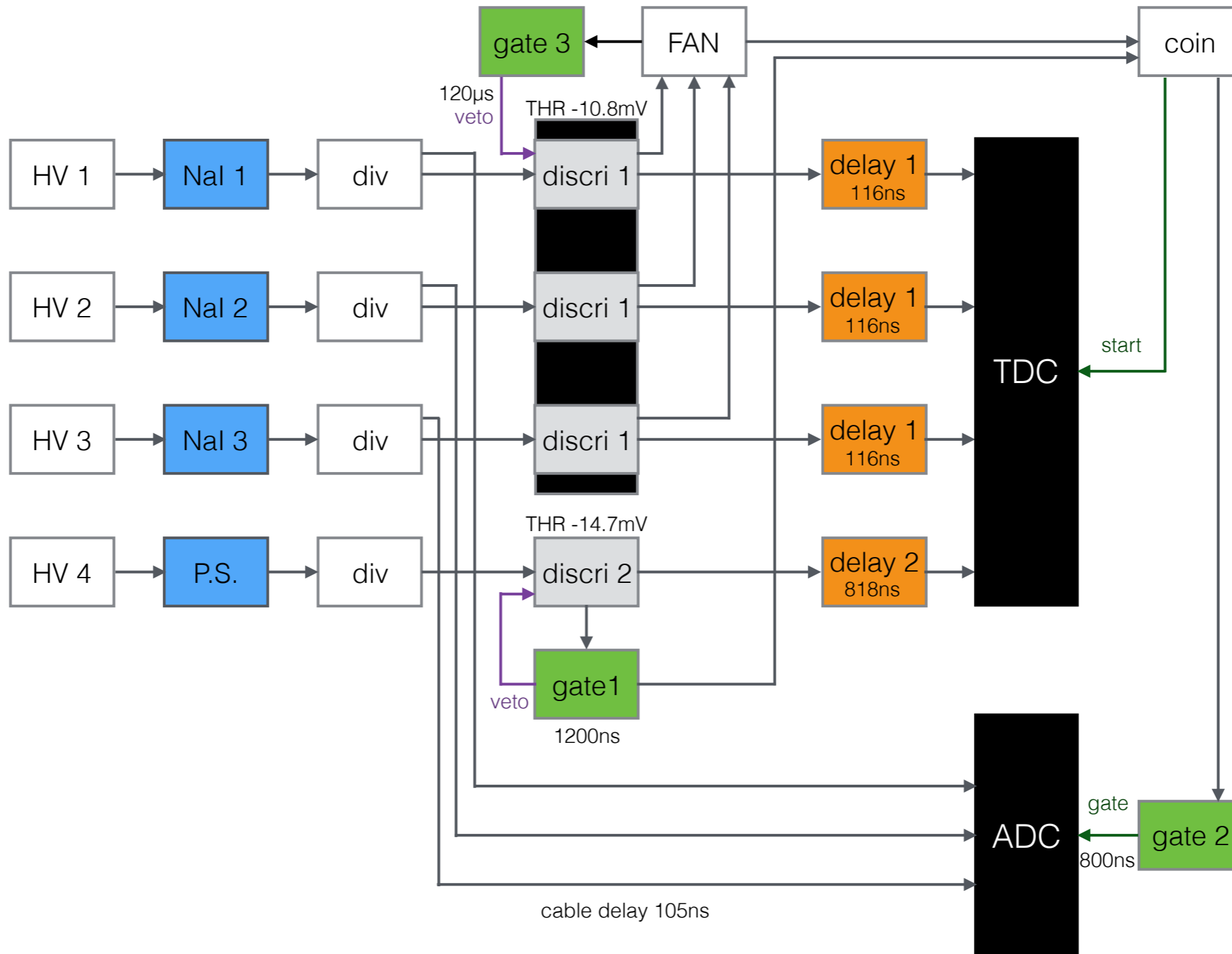


(ii)鉛ブロックによる遮蔽

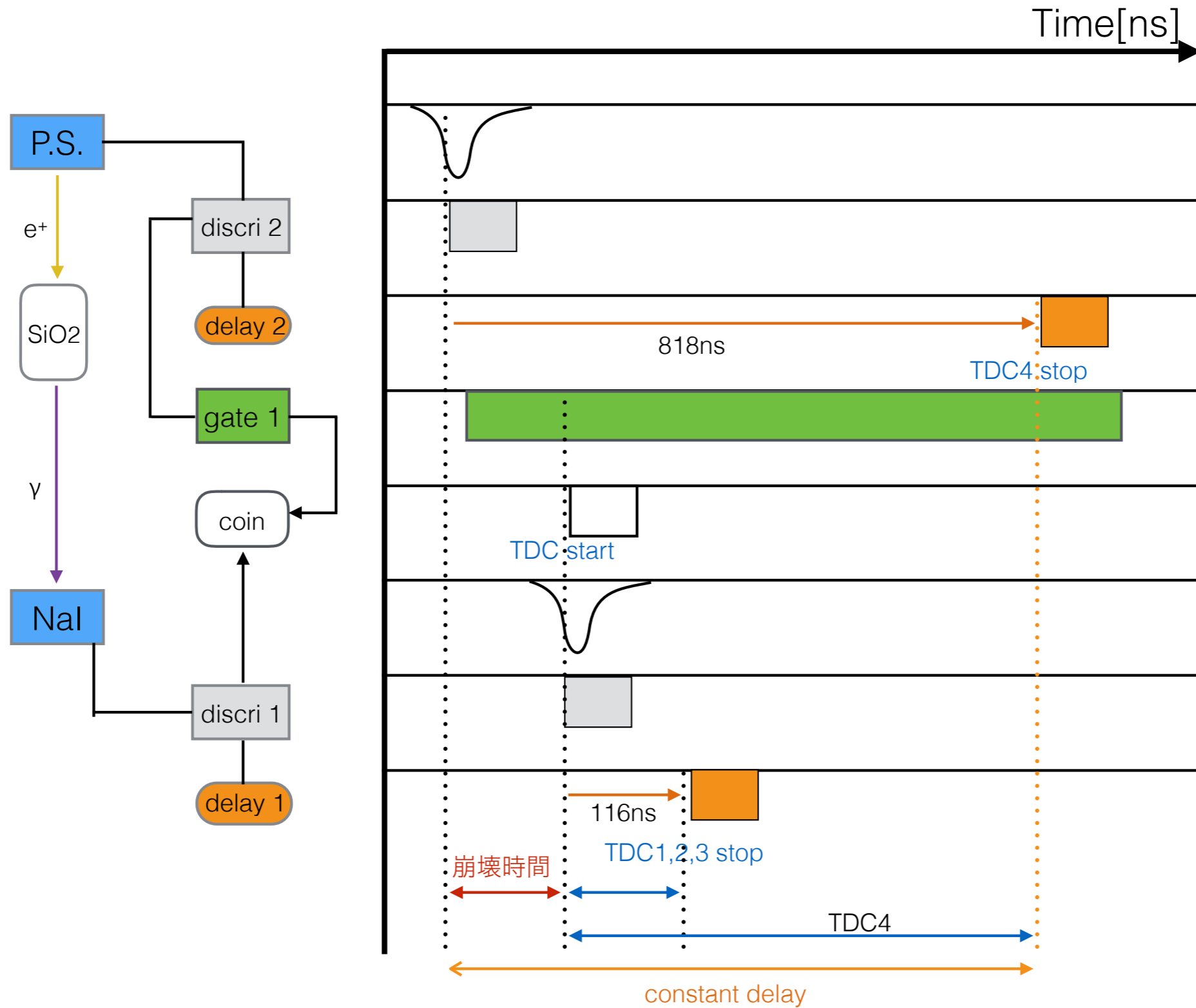


(iii)遮光の様子

回路の模式図



回路概念図



HVの調整

	HV[V]	ペDESTAL (ADCのch数)	ピーク (ADCのch数)	差 (ADCのch数)
NaI1	1250	203	965	762
NaI2	1350	187	920	733
NaI3	1110	223	937	714

4. データ解析

元のデータ



a) Calibration
(andデータの抽出)

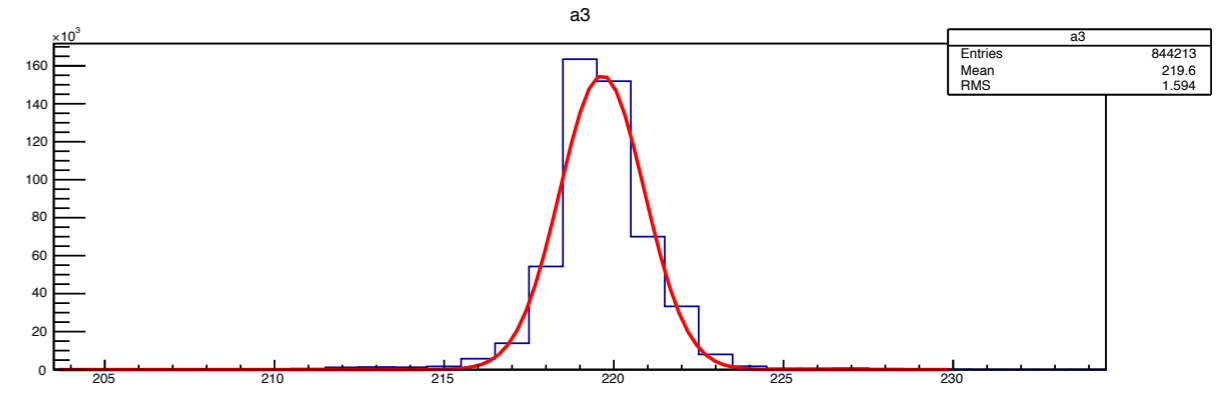
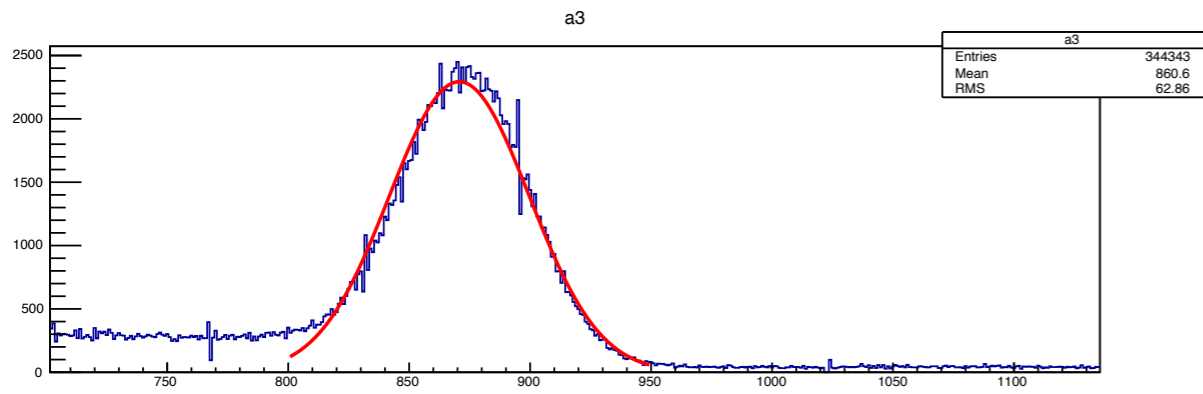
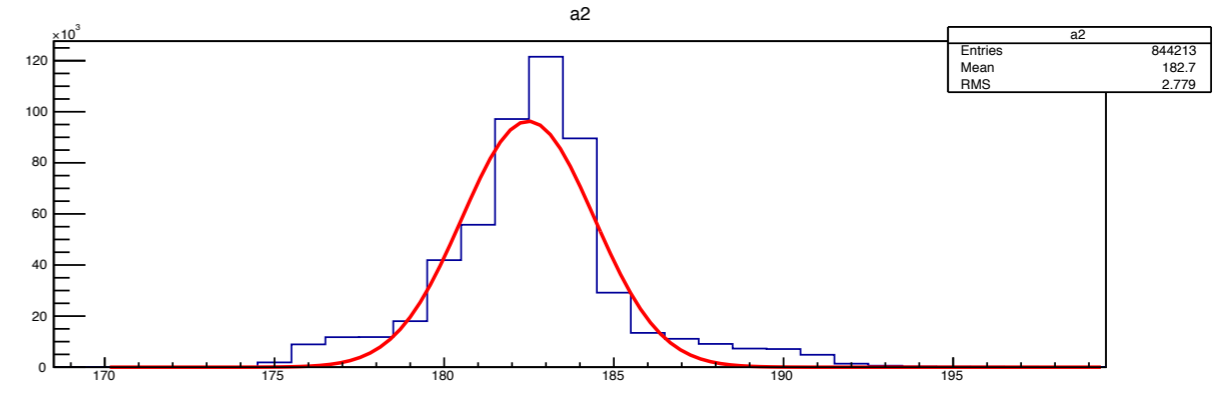
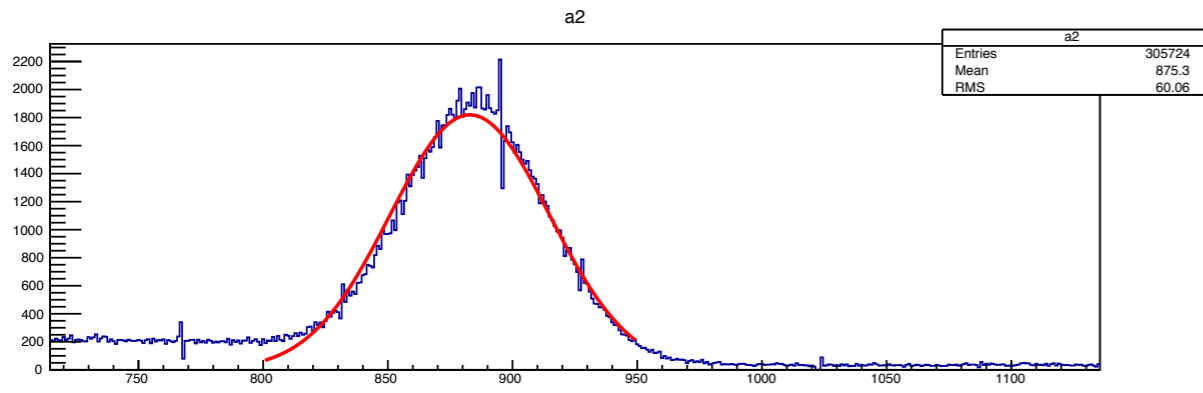
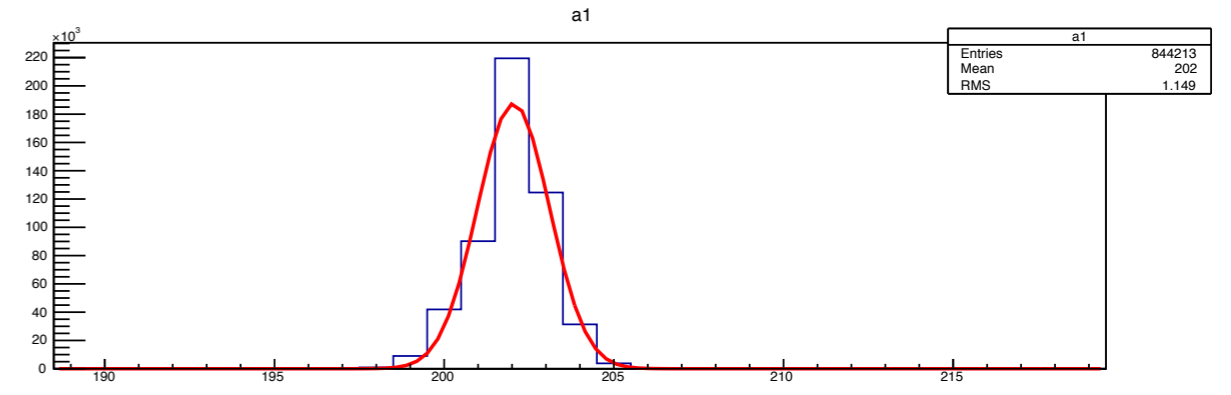
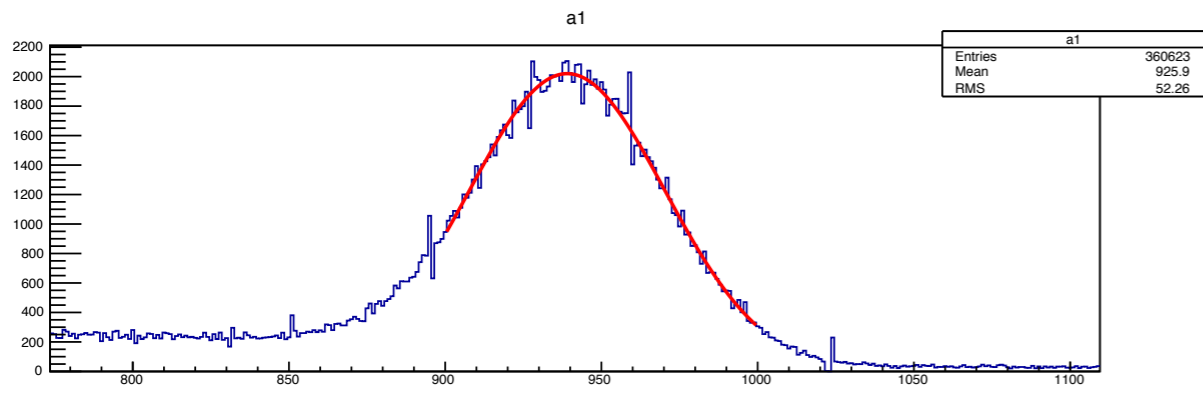


b) TQ補正 → 一度寿命を求める

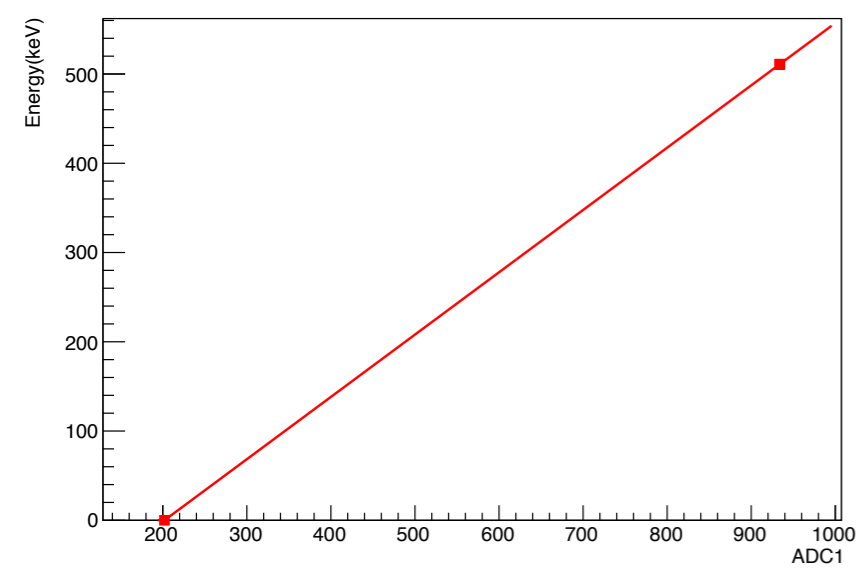


c) pick-off補正 → 寿命を求める

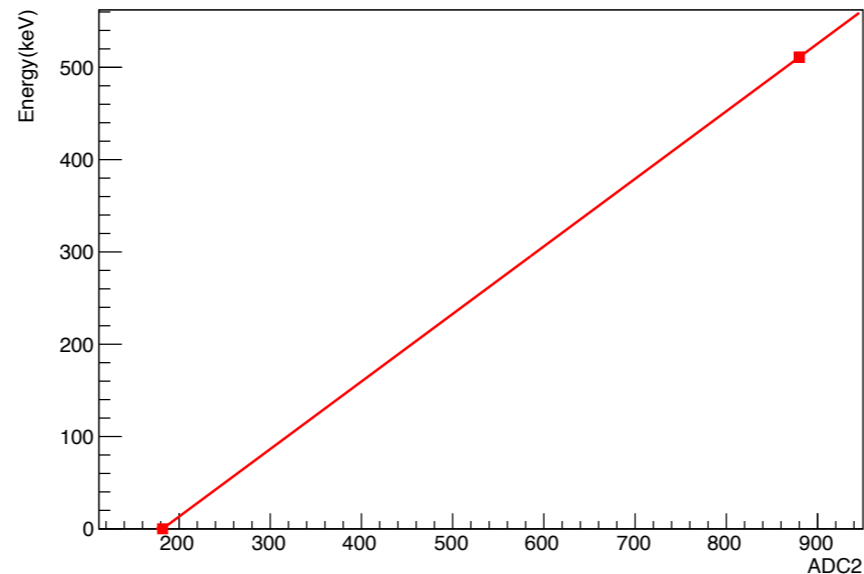
Calibration



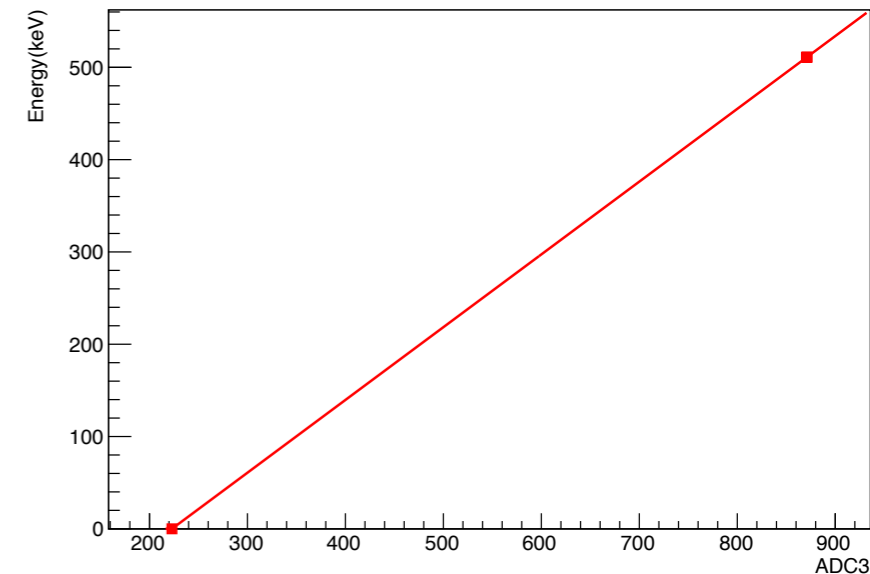
511keVpeakとpedestalを求めるフィッティングの様子
 (左が511keV、横軸:CH)



$$E(\text{keV}) = 0.698 \cdot (\text{ch}) - 141.014$$



$$E(\text{keV}) = 0.732 \cdot (\text{ch}) - 133.241$$



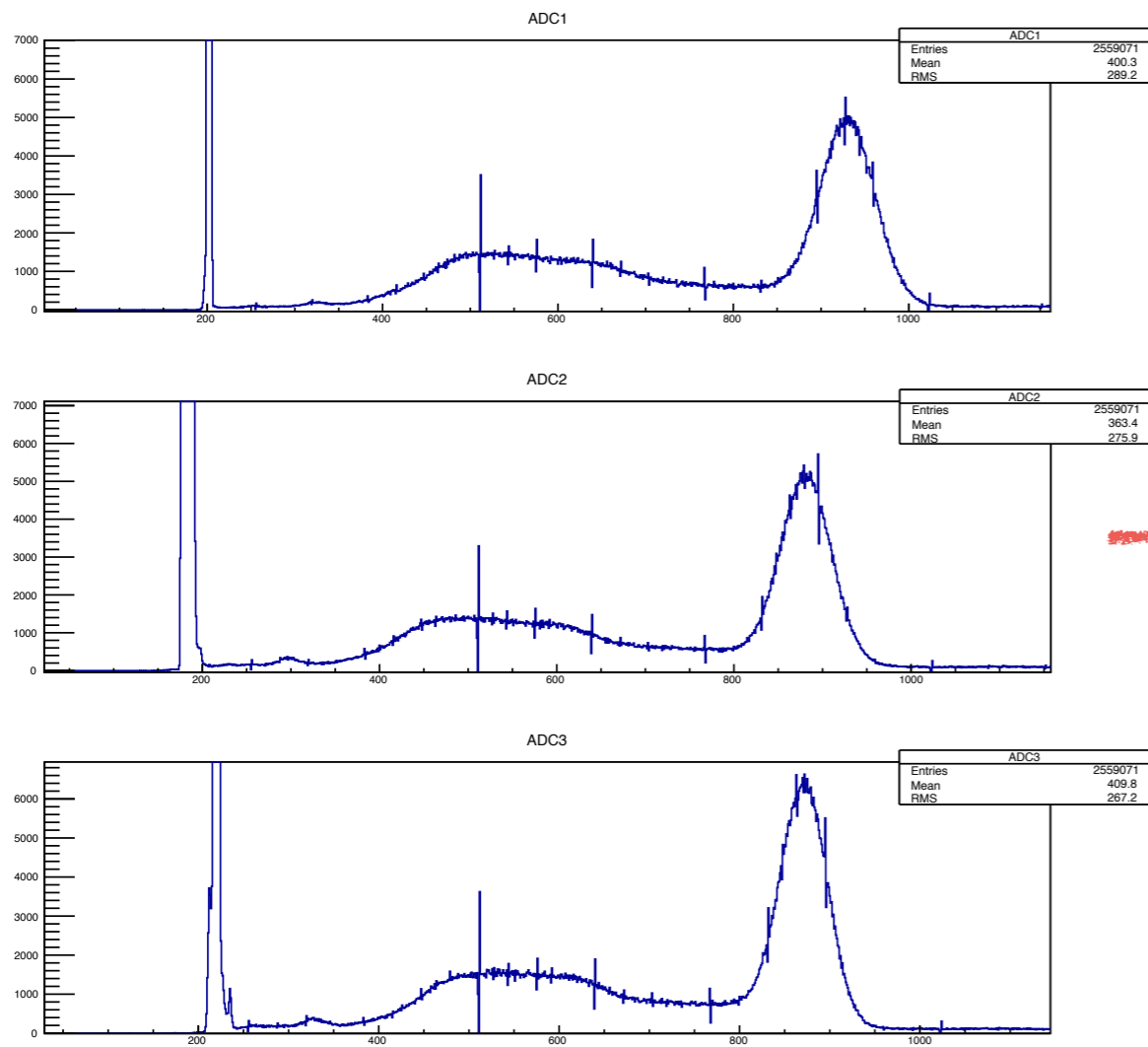
$$E(\text{keV}) = 0.789 \cdot (\text{ch}) - 175.853$$

ADC1, ADC2, ADC3のエネルギー較正

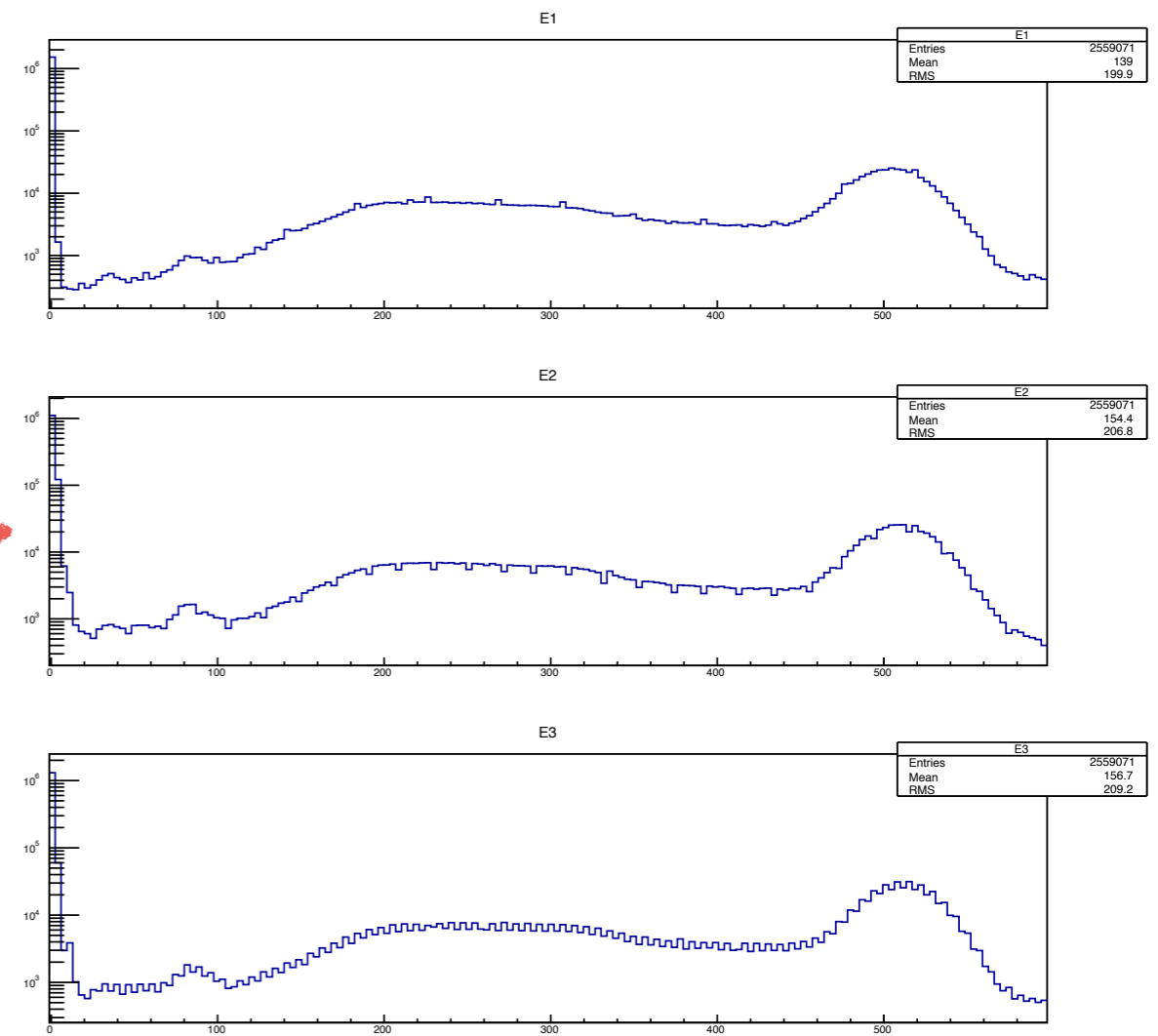
	ADC1(ch)	ADC2(ch)	ADC3(ch)
0keV (pedestal)	202	182	223
511keV (peak)	934	880	871

ADC Calibration

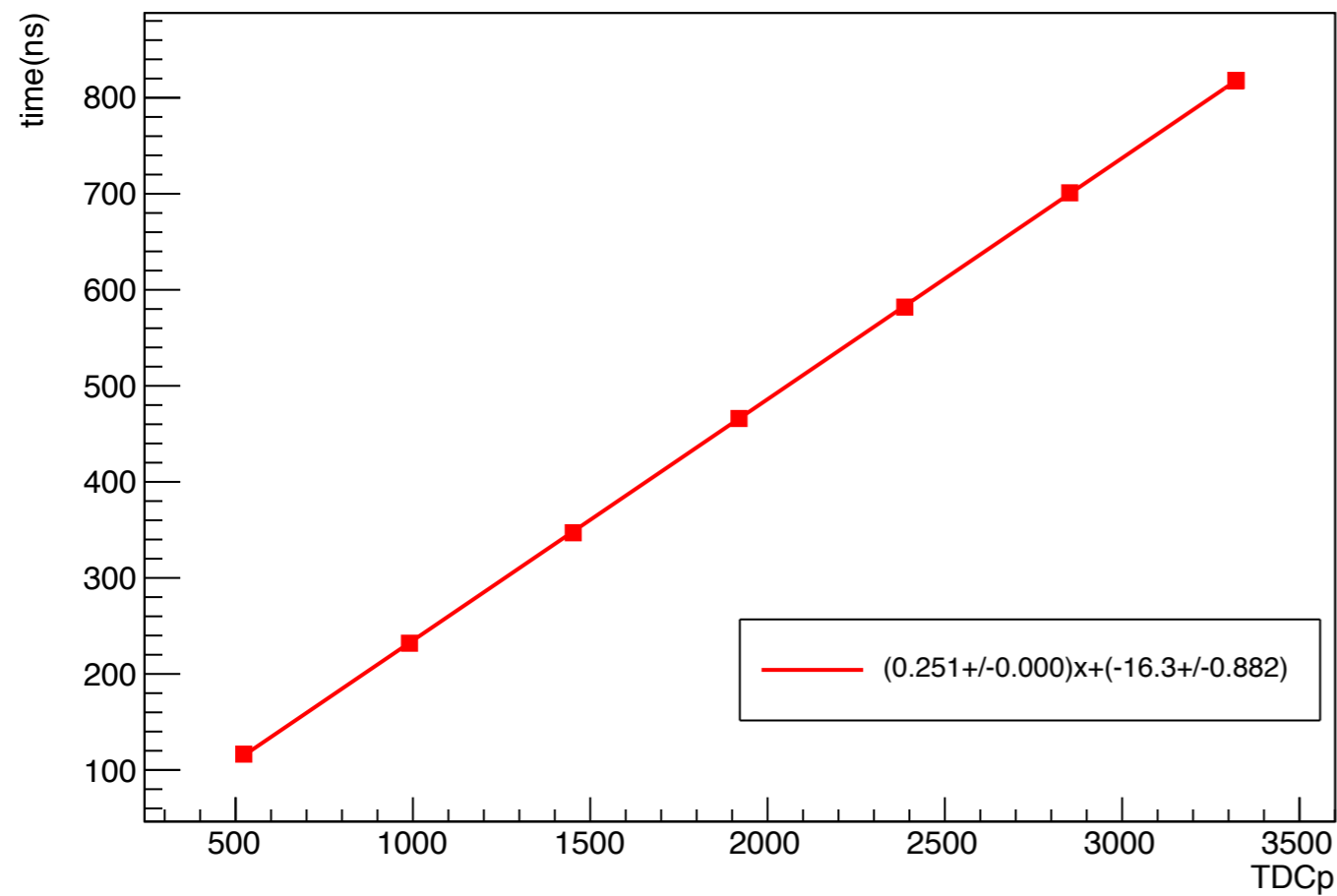
元のデータ
(横軸:ch数)



Calibration後
(横軸:エネルギー (keV))



TDC Calibrationの様子

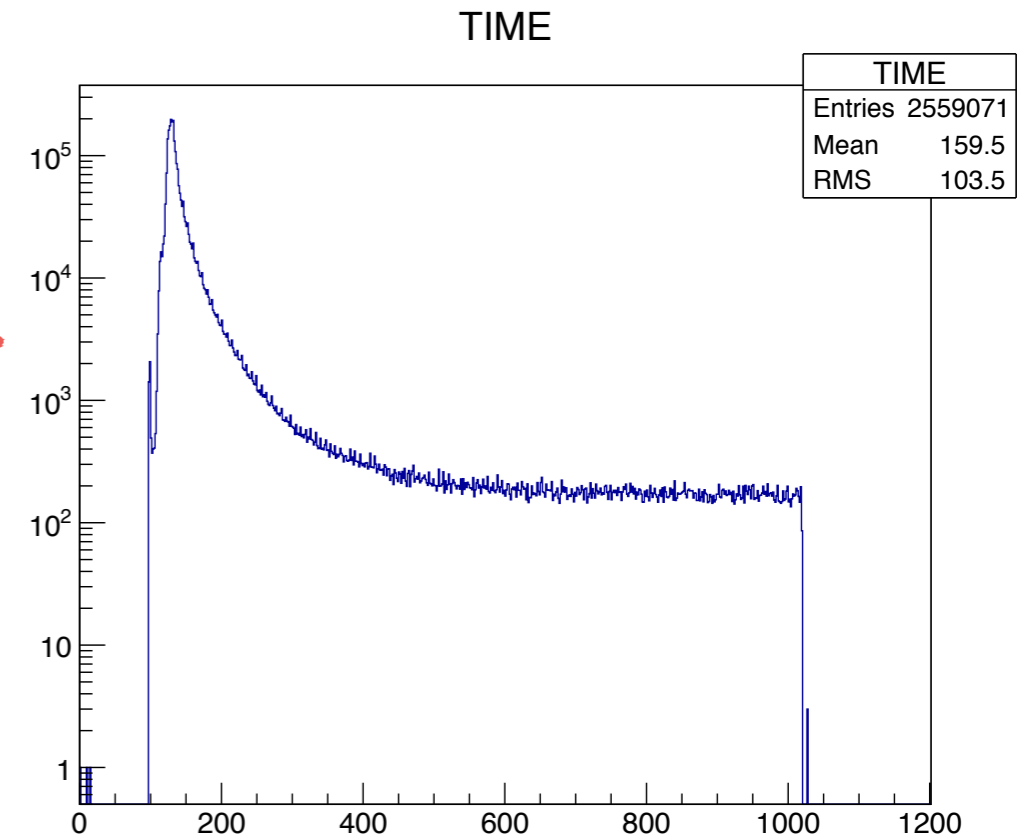
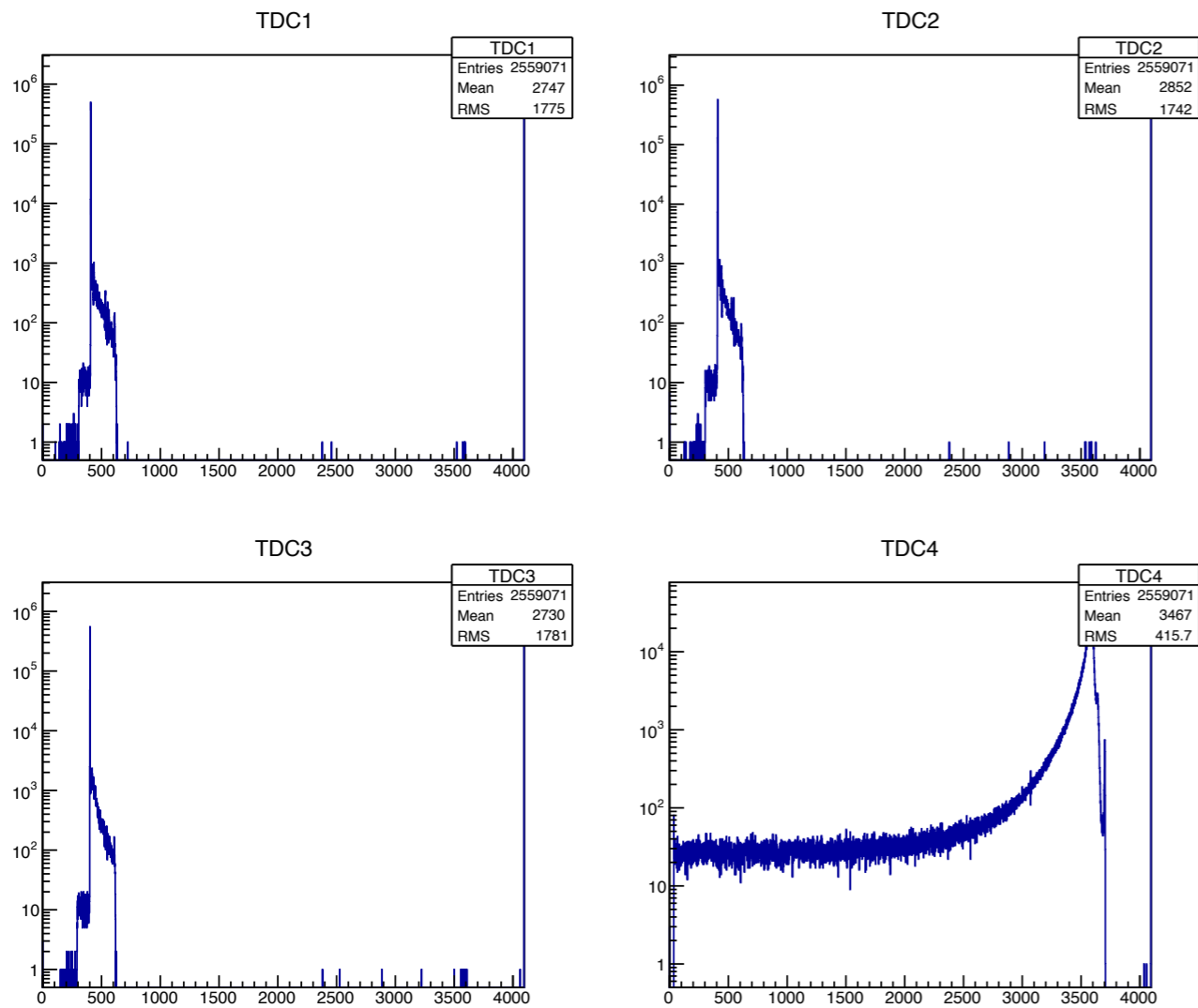


Fixed delay(ns)	TDC(ch)
116.5	523
232.0	990.3
347	1452
466	1919.5
582	2387
701	2852.2
818	3320.5

TDC Calibration

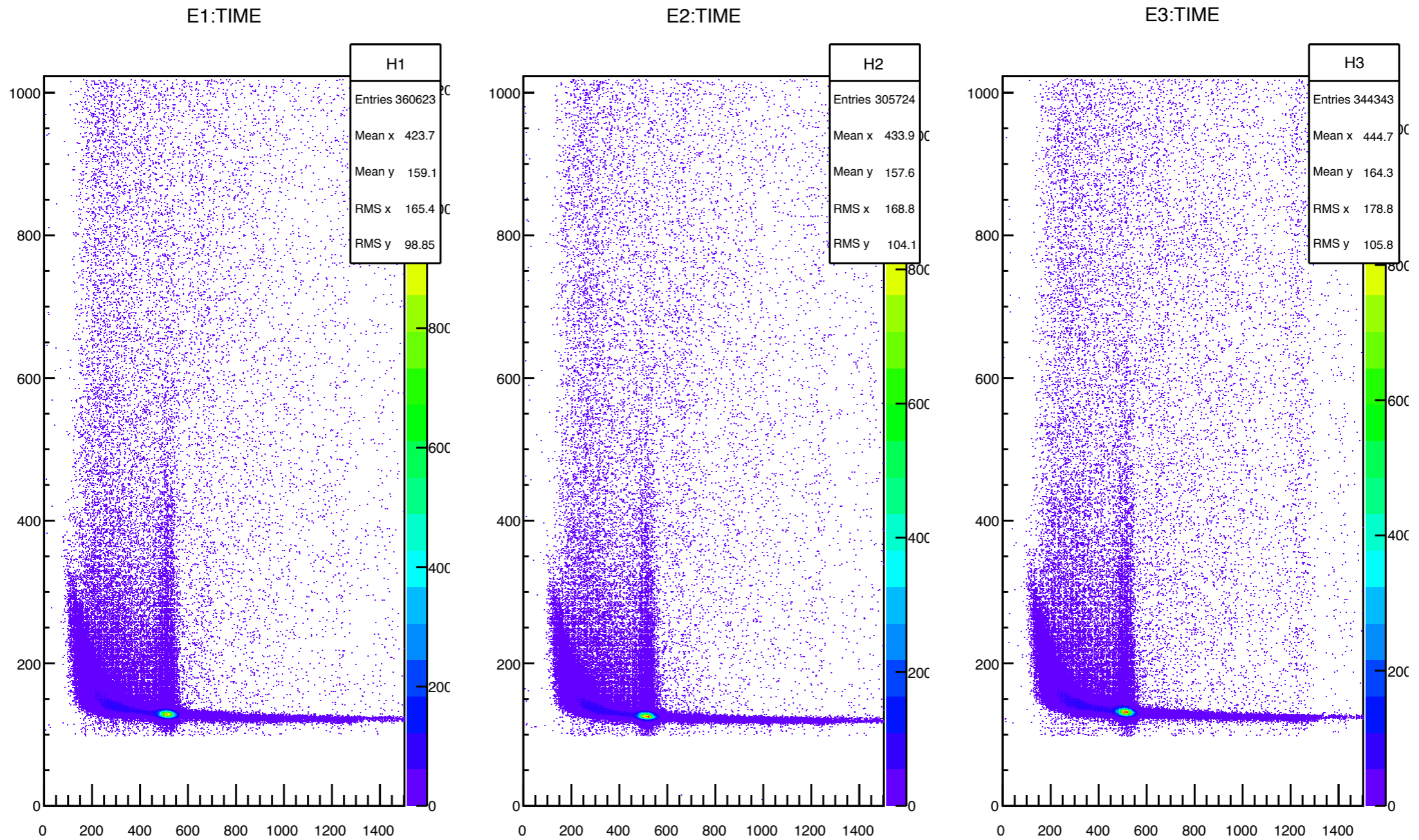
元のデータ
(横軸:ch数)

Calibration後
(横軸:時間 (ns))



同時に反転もさせている

Calibration後のエネルギー/時間分布



横軸:エネルギー(keV)、縦軸:時間(ns)

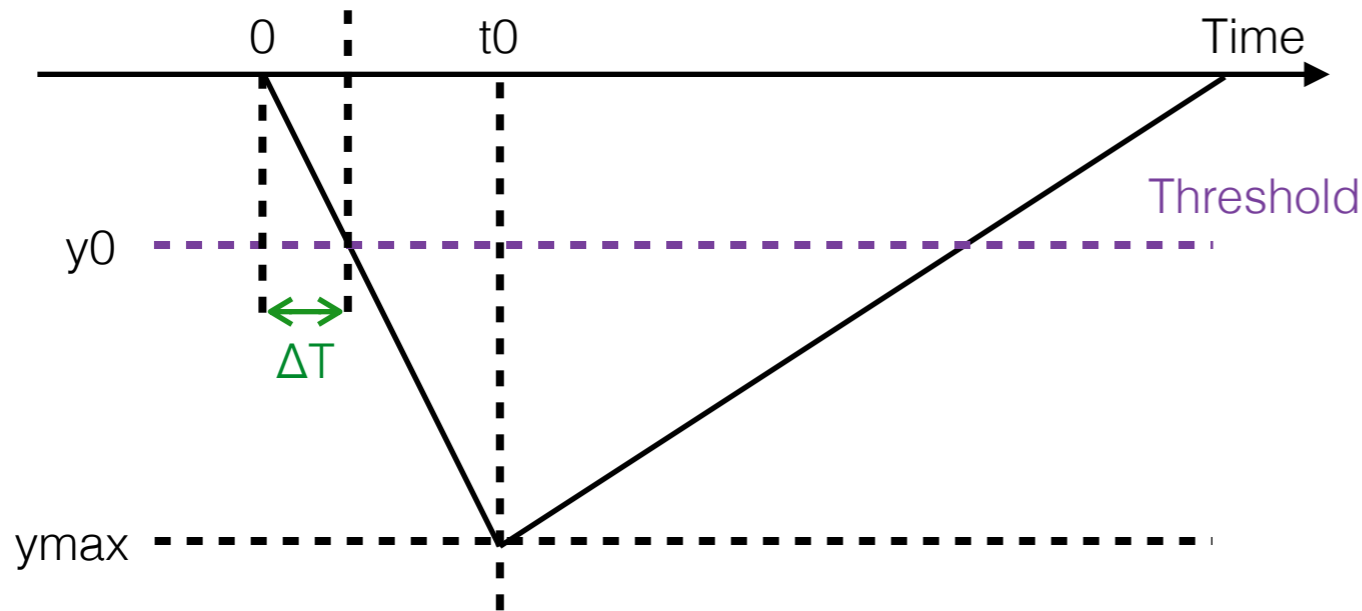
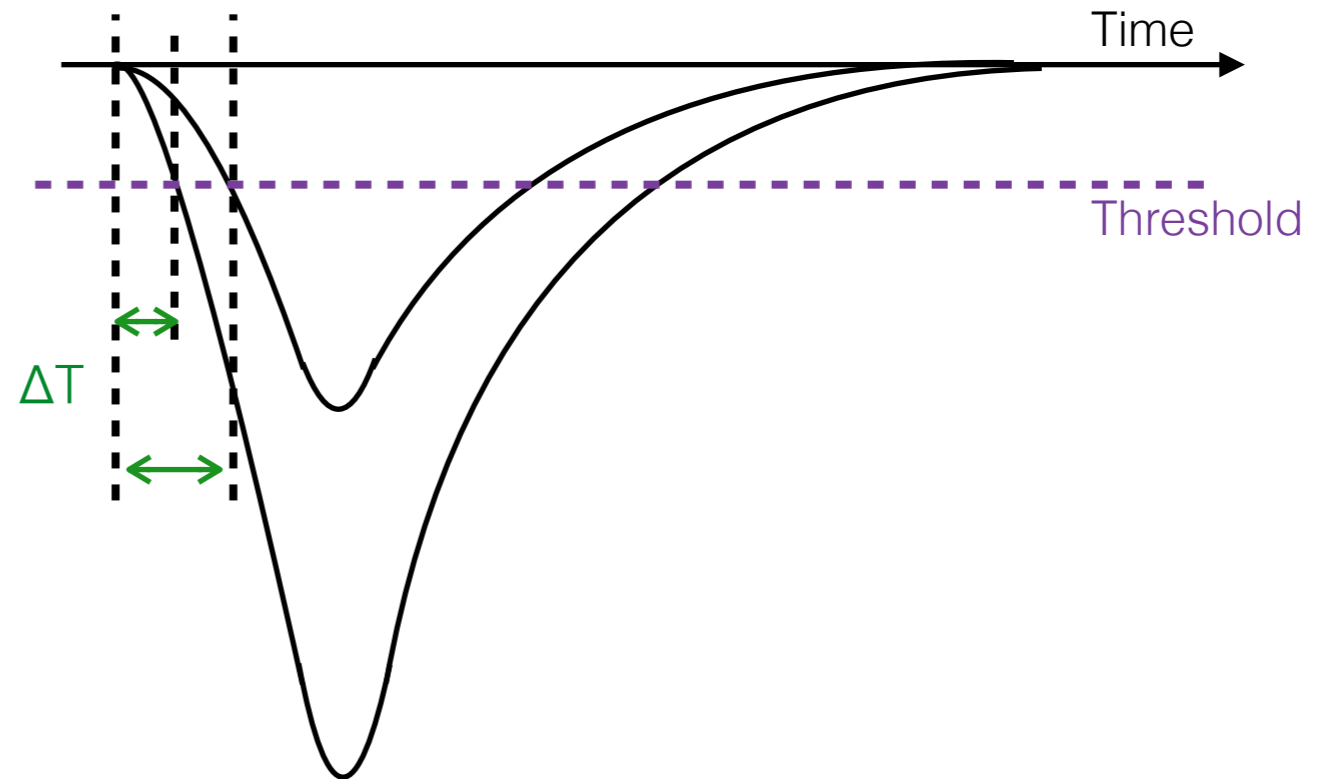
(補足)

二次元分布図の作成の前に、すべてのデータの中から NaI1,2,3のどれか一つのみが正しく信号を受け取ったと考えられるデータのみを、TDC1,2,3の値を条件に用いることで抽出した。

TQ補正

TQ補正とは？

ΔT をエネルギーEの関数として求める。



最も簡単な近似

Y_{max} はEに比例するとする。

$$\Delta T : t_0 = Y_0 : Y_{max}$$

より $\Delta T \propto E^{-1}$

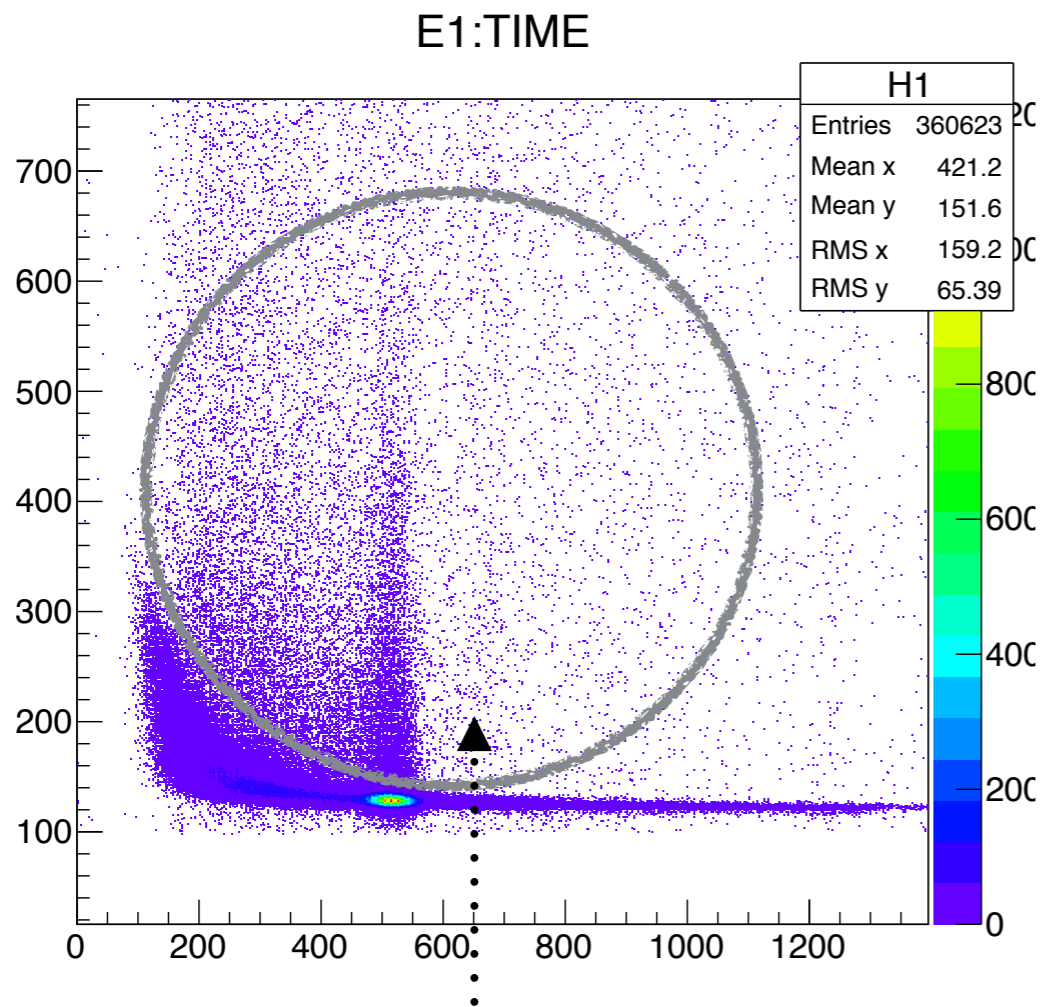
実際の方法

実際の補正式としては

$$\Delta T(E) = p_0 / (E - p_1)^{p_2 + p_3}$$

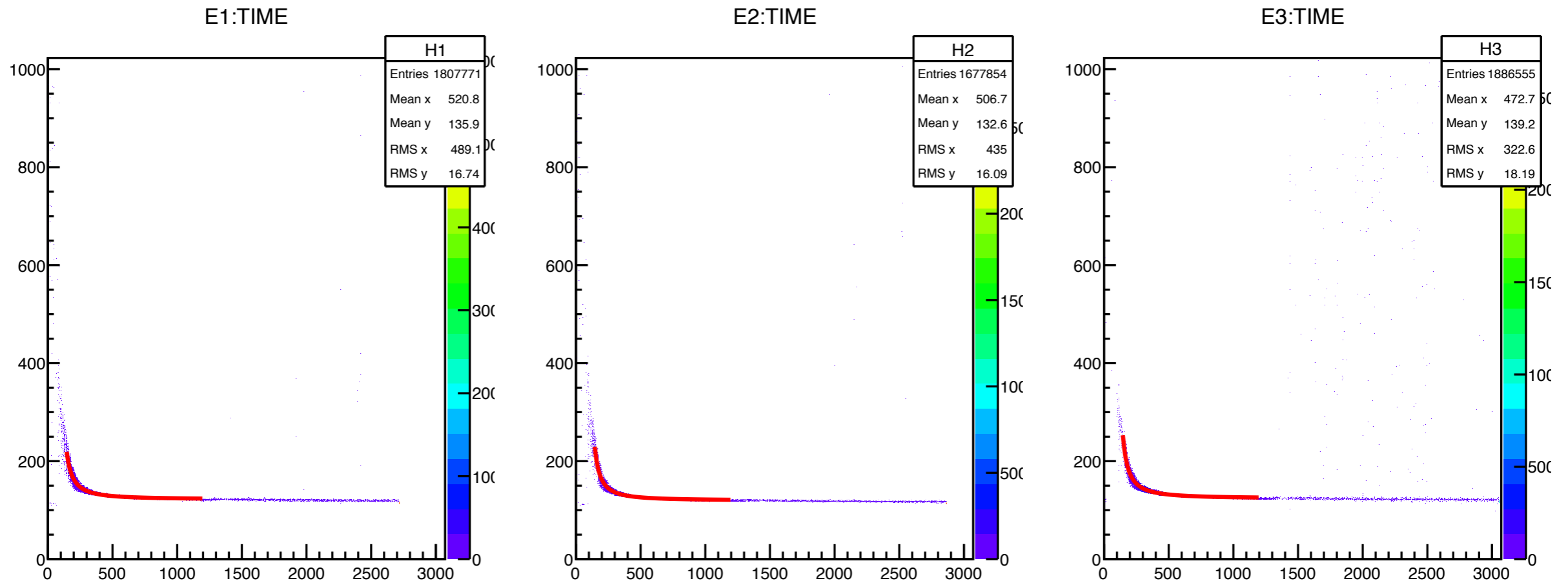
($p_0 \sim p_3$ はパラメーター)を用いた。

TQ補正のためのデータとしては、できるだけ短い時間で崩壊したものが都合が良く、また観測される多くの反応がすぐに崩壊するp- P_s であることから、全データの中でエネルギーごとに、観測数が最も多いところの6割以上であるところのみのデータを用いることにした。



この辺は要らない

フィッティングの図



フィッティング範囲については、下限は点の数が大きく減少しているところを境目として140を採用し、上限は、大きなエネルギーにおいて（おそらく全体のデータ数が少ないため）右上の領域に点が散見されたことからこれに影響を受けない範囲として1200を採用した。

結局得られたTQ補正式

Na1

$$46737/(E-76.7)^{1.46} + 122.016$$

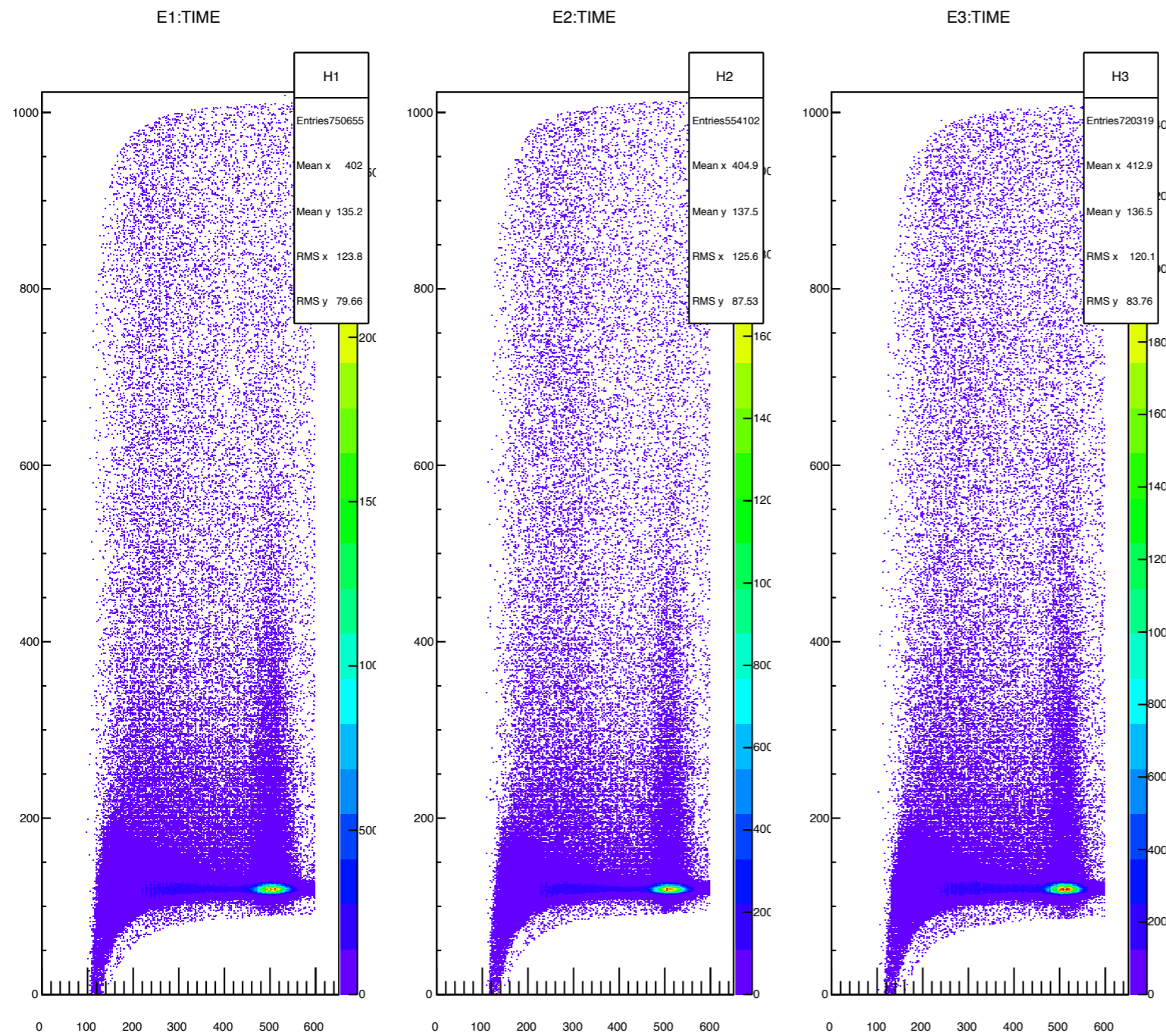
Na2

$$48581/(E-84.4)^{1.48} + 119.746$$

Na3

$$42297/(E-86.5)^{1.42} + 123.841$$

TQ補正後のヒストグラム



得られたTQ補正式で補正したものの。
頻度の高い部分の直線性は再現できているように見える。

TQ補正後の時間分布から求めた寿命

NaI1

89.6ns

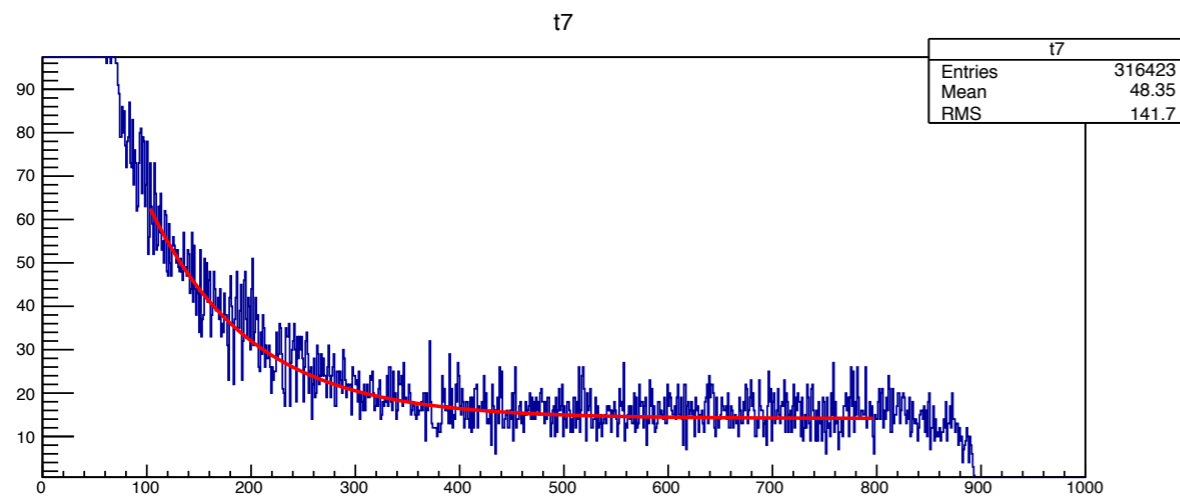
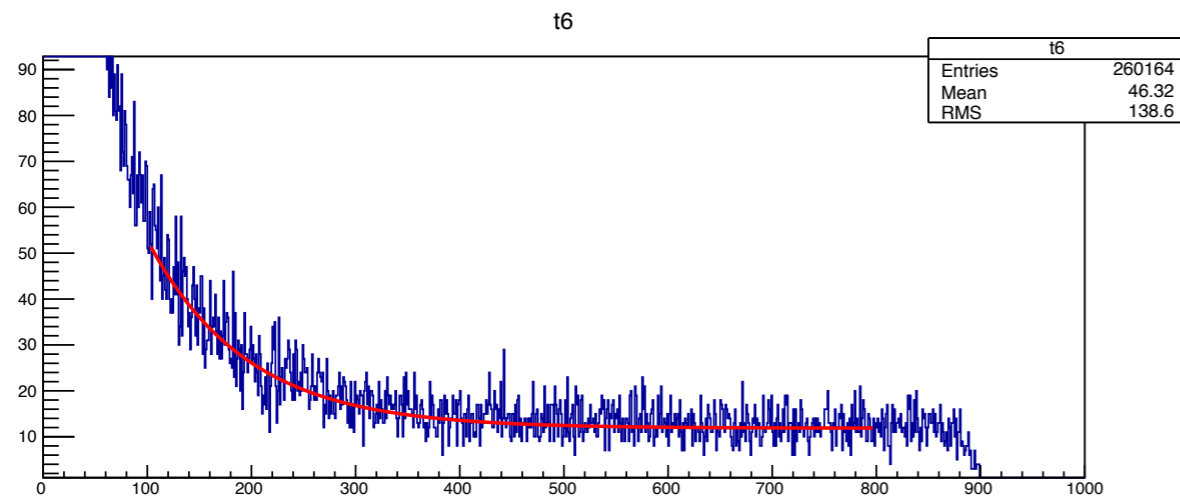
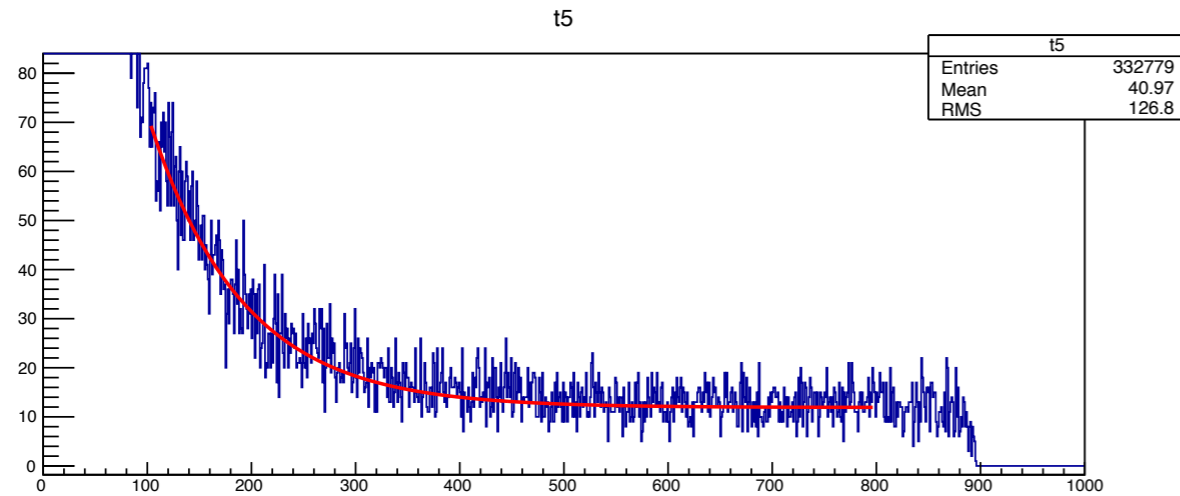
NaI2

92.1ns

NaI3

100ns

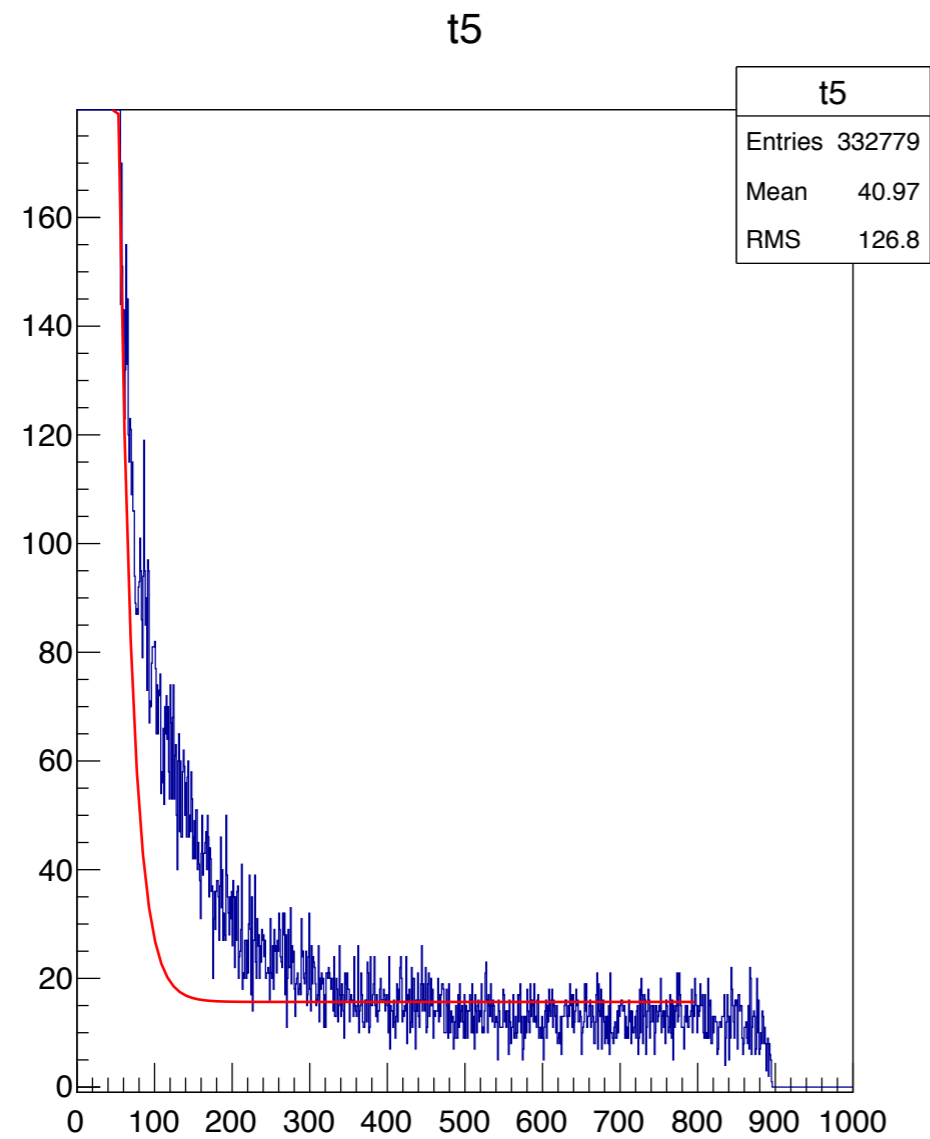
カウント数 = $p0 \cdot \exp(-\text{Time}/p1) + p2$ でフィッティングし、 $p1$ の値を寿命とした。



フィッティングの様子

フィッティング範囲は100ns-800nsとした。これより崩壊の速いものを含めようとするとな次のページのようにずれてしまったためこの範囲を採用した。崩壊が速いものはp- P_s が多く含まれていると考えられるため、遅い崩壊をするものを優先してフィッティングした。

範囲を崩壊が速い側に広げた時のフィッティング失敗図



大きくずれている。範囲は10ns-800ns

pick-off補正

Pick-off補正とは

- オルソポジトロニウム → 3γ (見たい反応)
→ pick-off反応
→ スピン交換反応
→ 化学反応

競合している！ $\Gamma_{\text{obs}} = \Gamma_{\text{ortho}} + \Gamma_{\text{pick-off}}$

3γ 以外の崩壊をするオルソポジトロニウムも観測してしまうことにより、求める寿命に誤差が生じるので、その影響を評価し補正する。具体的には、観測された反応のうち競合する反応によるものが 3γ に対してどれくらいであるか

$$(f(t) = \Gamma_{\text{pick-off}} / \Gamma_{\text{ortho}})$$

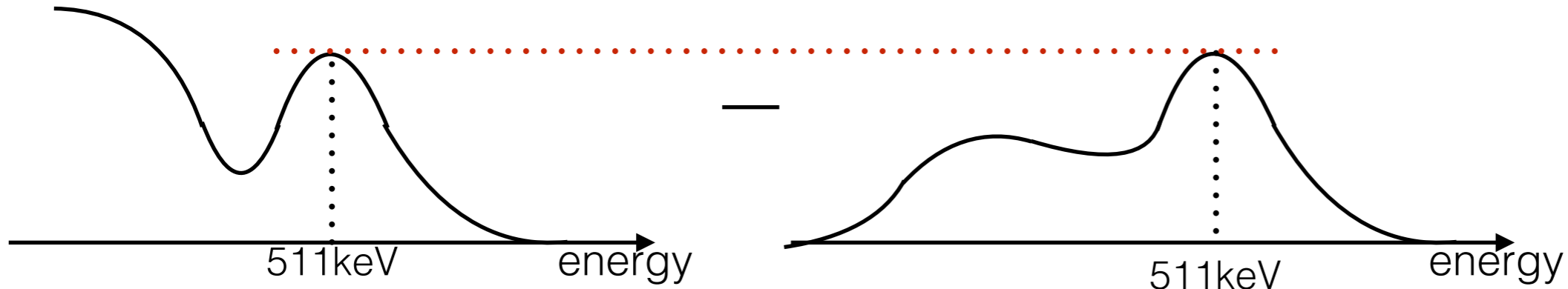
を各時刻で求め、それを寿命を求めるフィッティングの式に組み込むことで補正を行う。

どう見積もるか

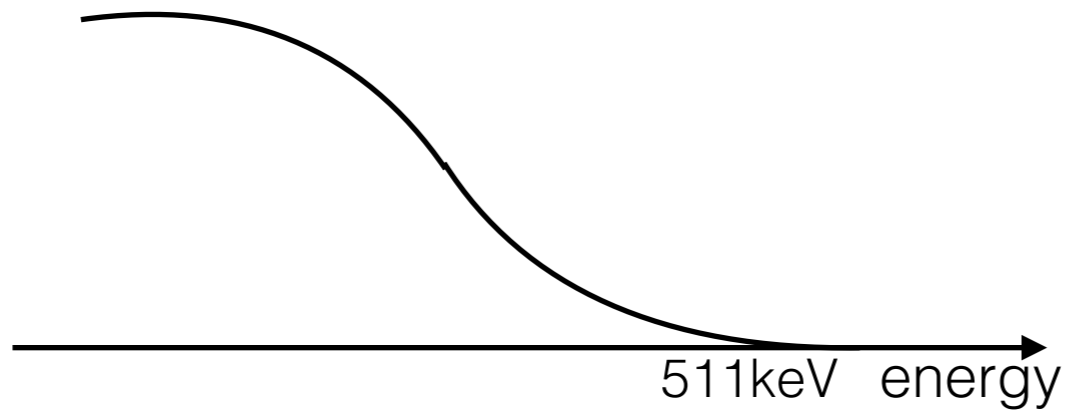
[t ns]

ortho、pick-off合わせた波形

pick-offのみの波形 (推定)

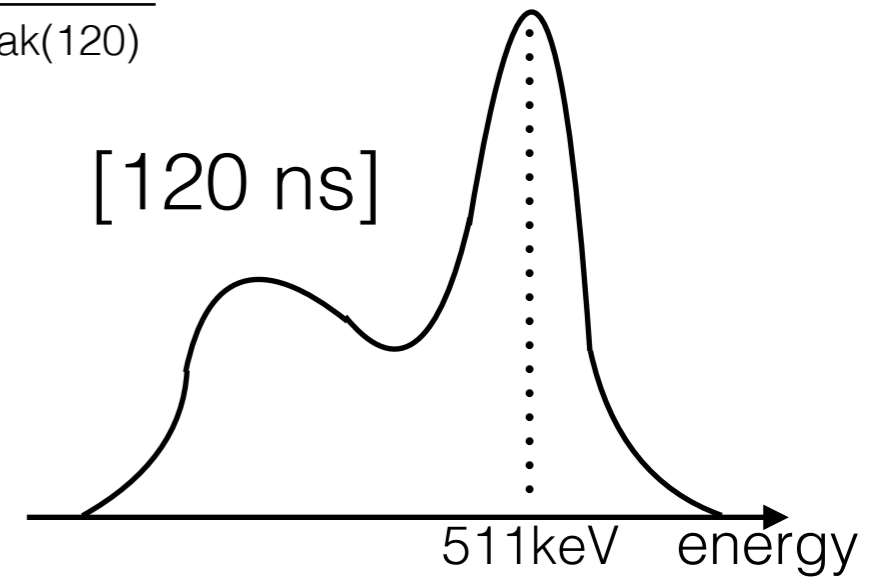


orthoのみの波形 (推定)



$$\times \frac{Y_{\text{peak}}(t)}{Y_{\text{peak}}(120)}$$

[120 ns]



(511keV波形のモデル)

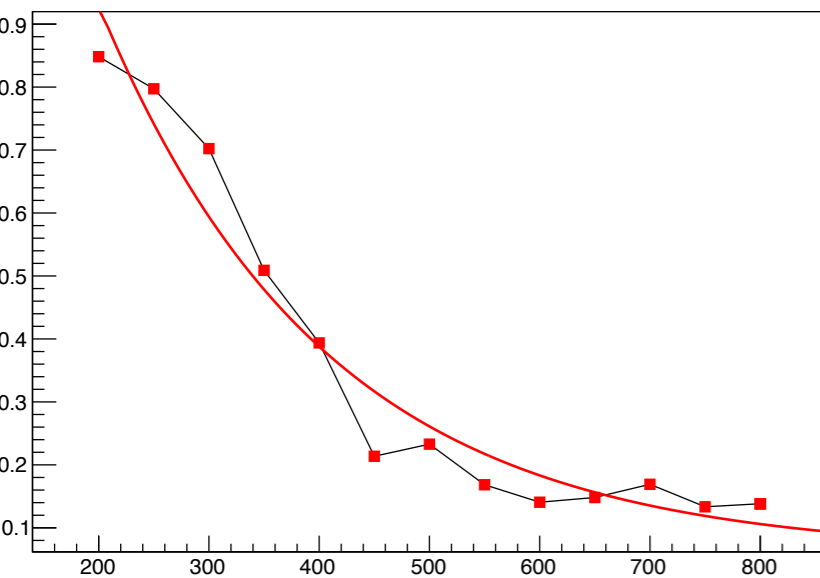
pick-off補正関数のfitting

$$f(t) = \Gamma_{\text{pick-off}} / \Gamma_{\text{ortho}} = N_{\text{pick-off}} / N_{\text{ortho}}$$

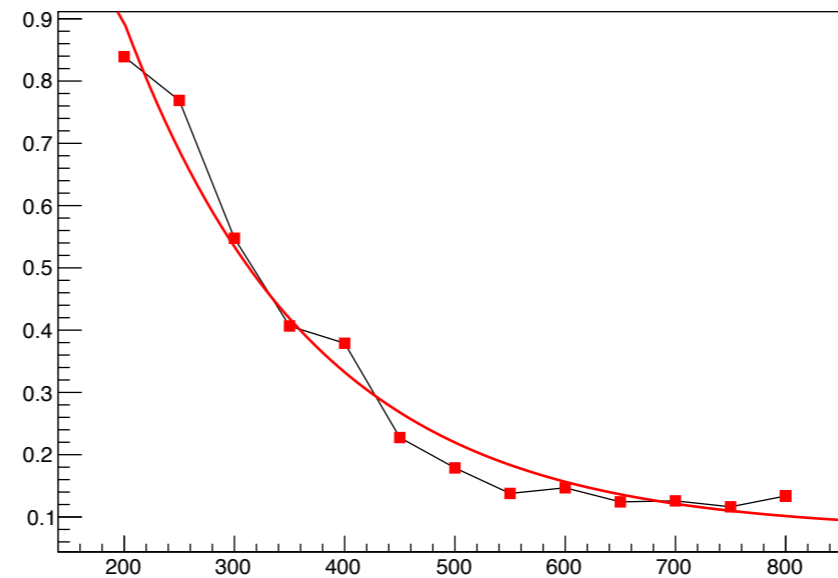
$$f(t) = p_0 * \exp(-\text{Time}/p_1) + p_2$$

でフィッティング

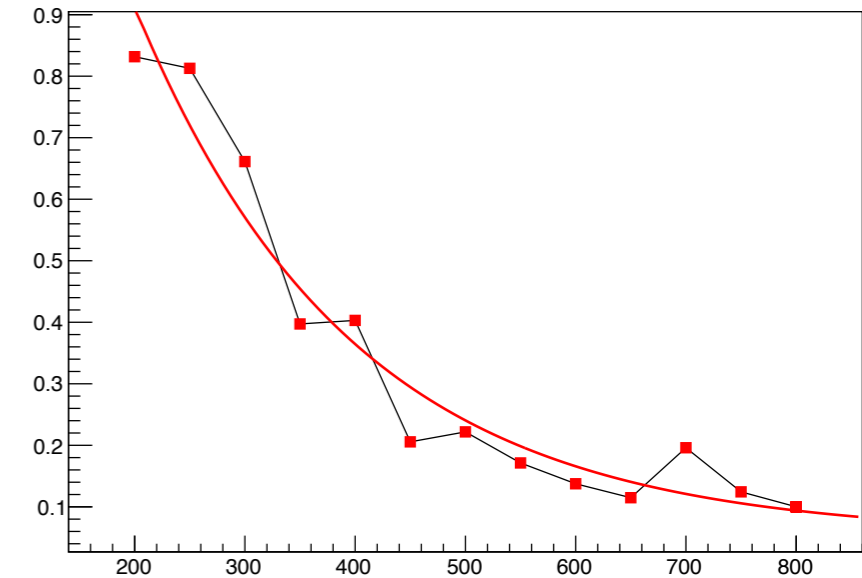
Graph Na1



Graph Na2



Graph Na3



pick-off補正関数

Na1

$$2.307 \times \exp(-t/205) + 0.059$$

Na2

$$2.620 \times \exp(-t/172) + 0.076$$

Na3

$$2.374 \times \exp(-t/197) + 0.053$$

寿命を求める式

崩壊幅の定義より、
$$\frac{dN(t)}{dt} = -N(t) \times (\Gamma_{ortho} + \Gamma_{pick-off}) = \frac{N(t)}{t_{ortho}} \times (1 + f(t))$$

解いて、
$$N(t) = \exp\left(-\frac{1}{t_{ortho}} \int dt(1 + f(t))\right)$$

観測しているのは崩壊したo-Psであるから、
-dN(t) / dt を求める（微分する）。

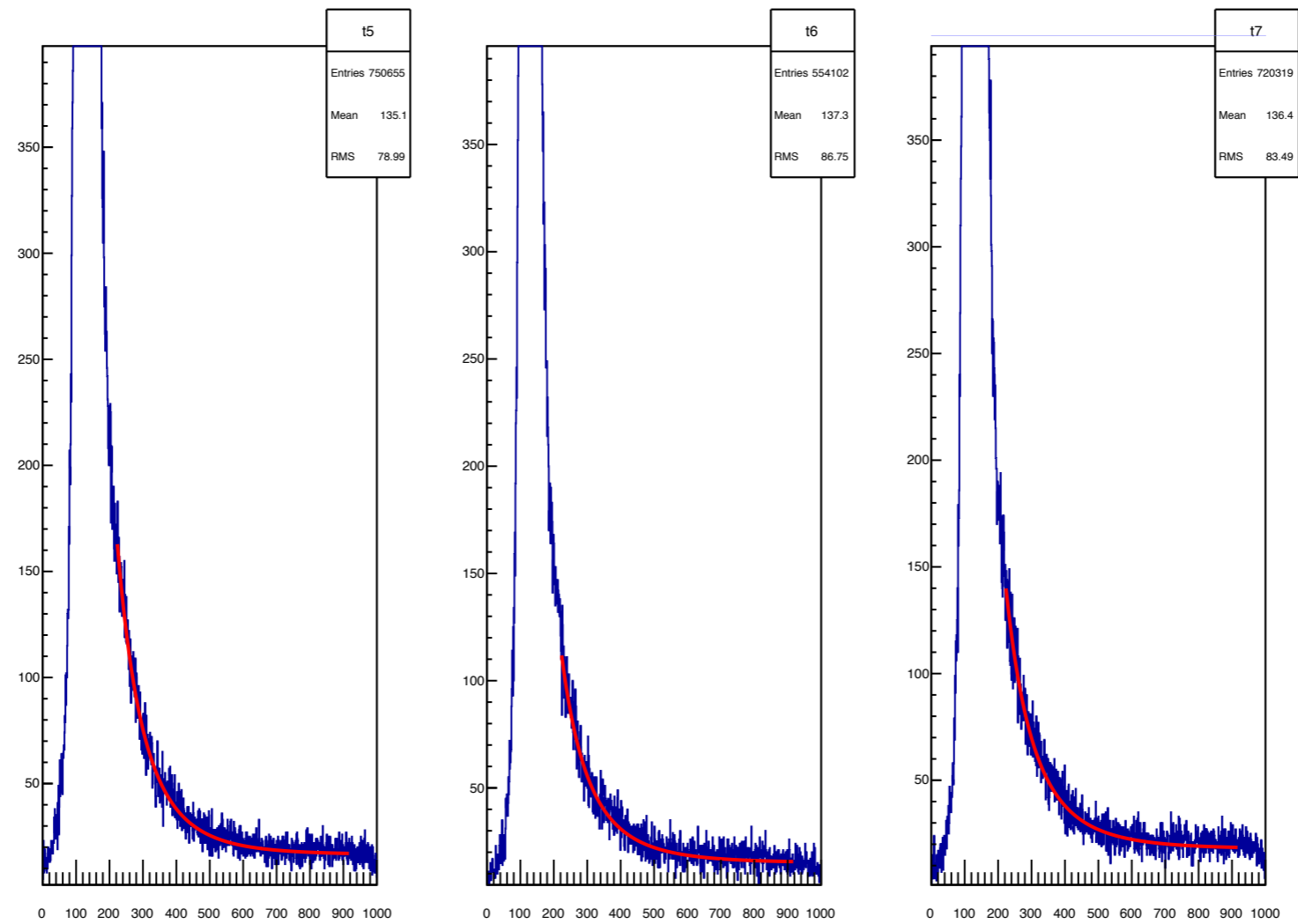
$$-\frac{dN(t)}{dt} = N_0(1 + f(t)) \times \exp\left(-\frac{1}{t_{ortho}} \int dt(1 + f(t))\right)$$

定数をパラメーターに
置き換えて、

$$p_0(1 + f(t)) \exp\left(-\frac{1}{p_1} \int dt(1 + f(t))\right) + p_2$$

この式でフィッティングを行った。

p1が寿命である。



pick-off補正後の寿命のfitting

pick-off補正後の寿命

Na1

169.9 ± 3.7 (ns)

Na2

176.5 ± 5.4 (ns)

Na3

179.5 ± 4.5 (ns)

5. 考察

誤差の評価

誤差伝搬の公式

where $q = q(x_1, \dots, x_n)$

$$\delta q = \sqrt{\left(\frac{\partial q}{\partial x_1} \delta x_1\right)^2 + \dots + \left(\frac{\partial q}{\partial x_n} \delta x_n\right)^2}$$

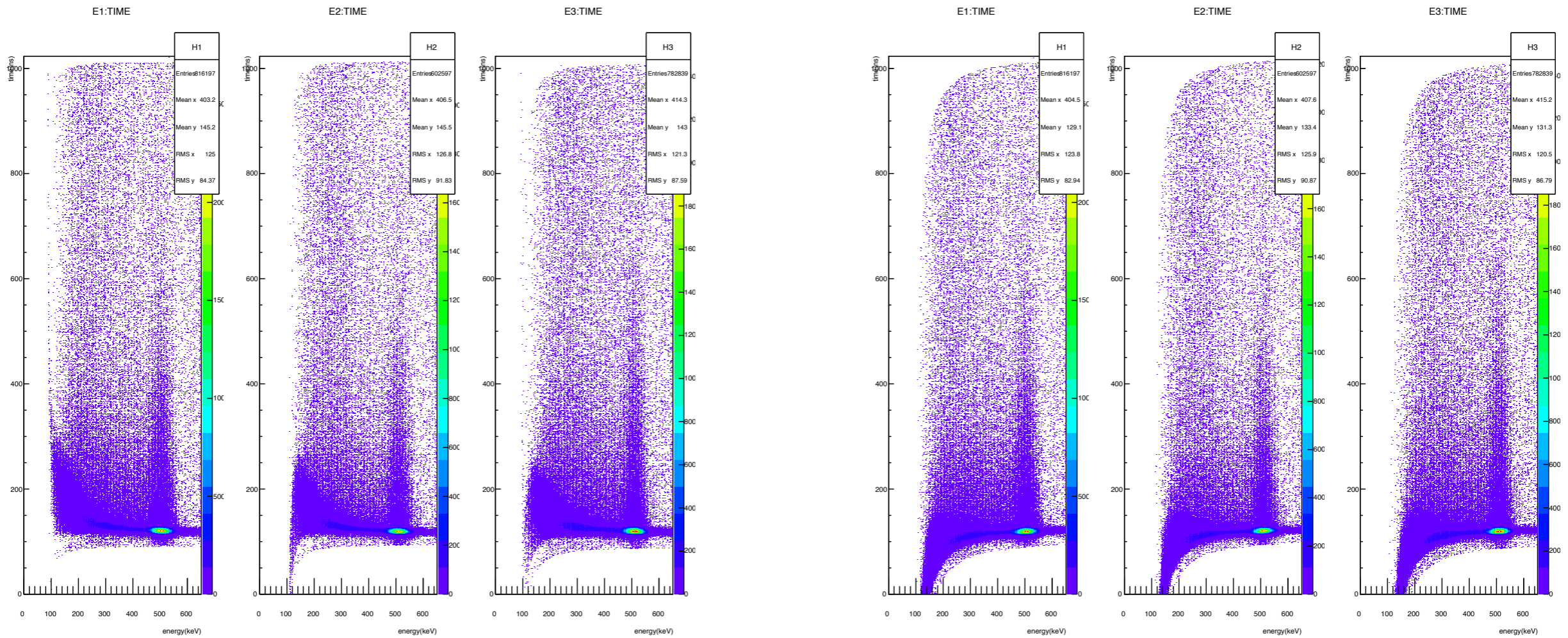
を用いて解析によって生じる統計的な誤差を評価する。

TQ補正関数 ΔT にこの公式を用いると

$$\Delta T = \frac{p_0}{(E - p_1)^{p_2}}$$

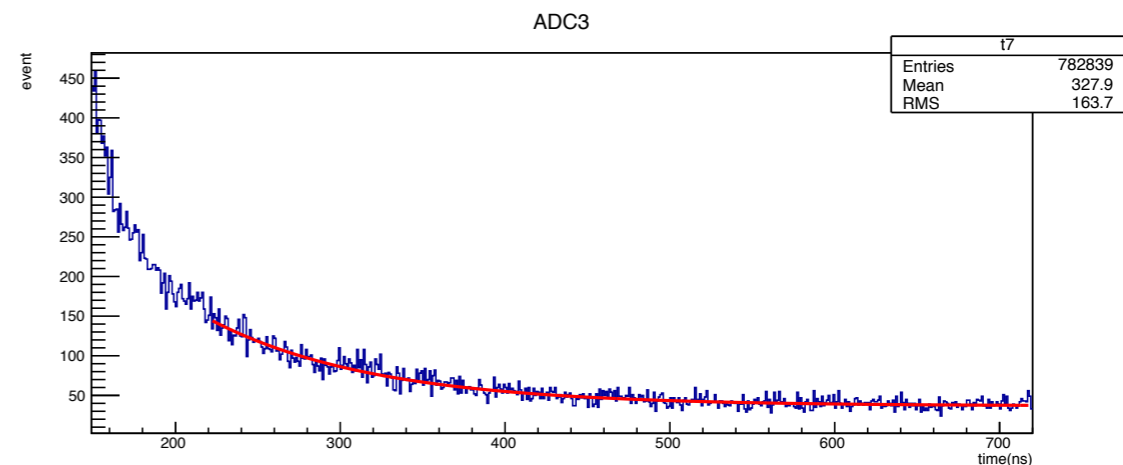
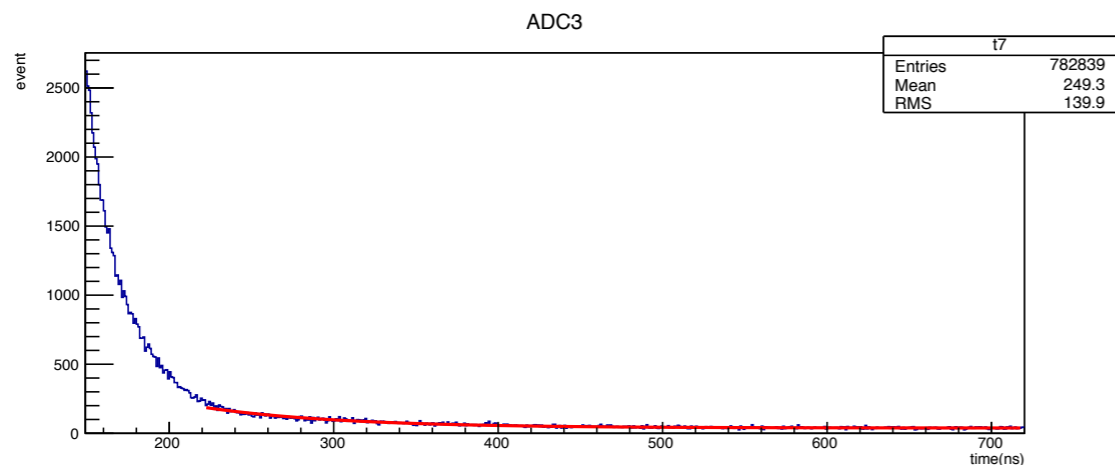
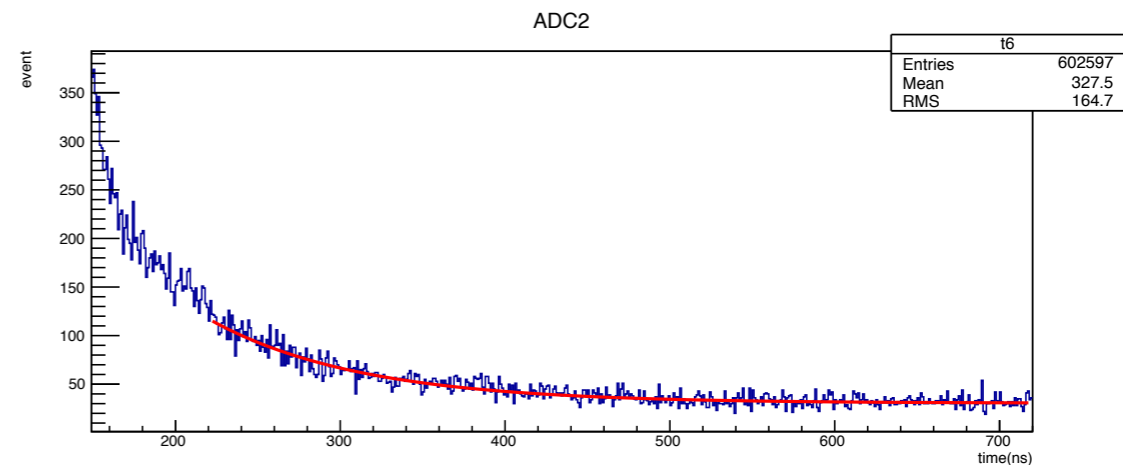
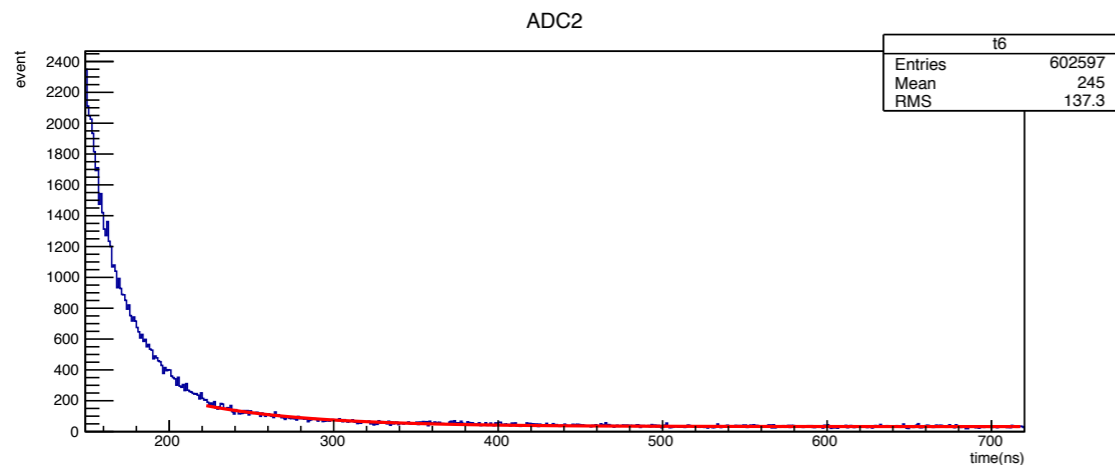
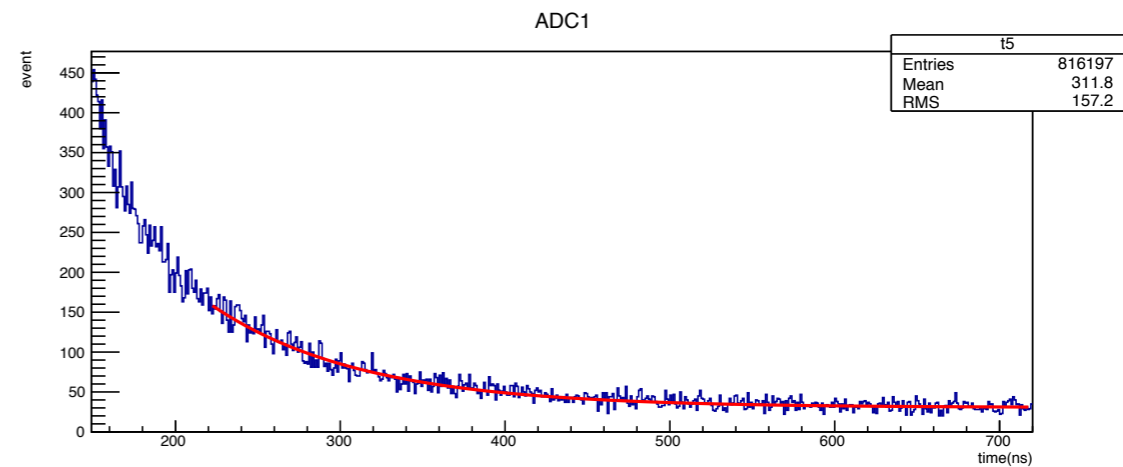
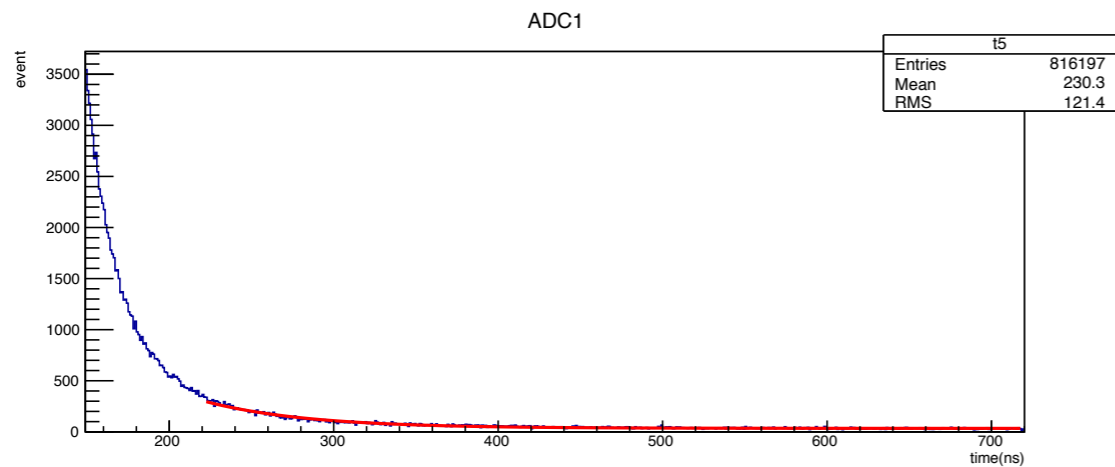
$$\begin{aligned} \delta \Delta T &= \sqrt{\left(\frac{\partial \Delta T}{\partial p_0} \delta p_0\right)^2 + \left(\frac{\partial \Delta T}{\partial p_1} \delta p_1\right)^2 + \left(\frac{\partial \Delta T}{\partial p_2} \delta p_2\right)^2} \\ &= \frac{p_0}{(E - p_1)^{p_2}} \sqrt{\left(\frac{\delta p_0}{p_0}\right)^2 + \left(\frac{p_2}{E - p_1} \delta p_1\right)^2 + (\log(E - p_1) \delta p_2)^2} \end{aligned}$$

前項で得られた $\delta\Delta T$ を導入した新たなTQ補正関数 $\Delta T + \delta\Delta T$ 、 $\Delta T - \delta\Delta T$ でTQ補正し、TQ補正の誤差を考慮した寿命を求める。



$\Delta T - \delta\Delta T$

$\Delta T + \delta\Delta T$



$\Delta T - \delta \Delta T$ による補正

$\Delta T + \delta \Delta T$ による補正

ADC1: 62.5ns

ADC1: 91.4ns

ADC2: 67.1ns

ADC2: 91.5ns

ADC3: 85.2ns

ADC3: 100ns

ADC2について誤差を正にとっても負にとっても誤差を考慮しない場合の寿命92.1nsよりも短い値が出ている。

確かに誤差に対する寿命の応答は単調なものではないはずなのでもう少し細かく

$$\Delta T - \delta\Delta T, \Delta T - (3/4)\delta\Delta T, \Delta T - (1/2)\delta\Delta T, \dots, \Delta T + \delta\Delta T$$

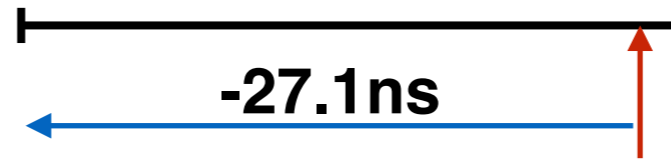
とTQ補正関数の誤差を1/4刻みで変えながら寿命に対する影響を見た。

	$-\delta$	$-(3/4)\delta$	$-(1/2)\delta$	$-(1/4)\delta$	誤差補 正なし	$(1/4)\delta$	$(1/2)\delta$	$(3/4)\delta$	δ
ADC1	62.5	74.0	84.9	89.5	89.6	90.6	90.0	90.5	91.4
ADC2	67.1	78.1	84.6	87.9	92.1	89.3	91.6	90.5	91.5
ADC3	85.2	94.9	98.1	99.6	100	100	102	101	100

誤差による寿命の補正の幅はADC1で-27.1nsから+1.8ns、ADC2で-25.0nsから+0ns、ADC3で-14.8nsから+2nsとなった表を見ても分かるように誤差を動かしても長寿命側にはほとんど振れないのに対して短寿命側には大きく振れることが分かる。

ADC1

min 62.5ns

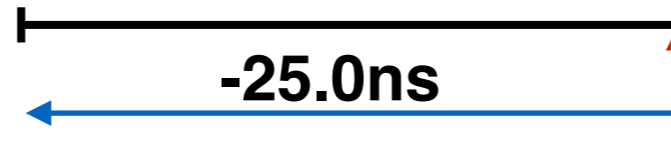


max 91.4ns

apply 89.6ns

ADC2

min 67.1ns

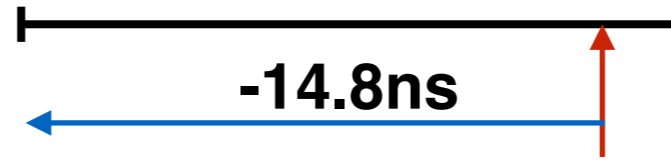


max 92.1ns

apply 92.1ns

ADC3

min 85.2ns



max 102ns

apply 100ns

このように今回採用したTQ補正関数は誤差の幅の中では長寿命を得やすいものになっていることが分かる。

TQ補正の誤差と同様にpick-off補正関数 $f(t)$ の誤差を考慮した
 フィッティング関数 $g+\delta g, g+(3/4)\delta g, g+(1/2)\delta g, \dots, g-\delta g$ によっ
 て寿命を求めた。ここでTQ補正式としては誤差を考慮したも
 のでなく前章と同じものを使っている。

$$g = p_0(1 + f(t)) \exp\left(-\frac{1}{p_1} \int dt (1 + f(t))\right) + p_2$$

$$f(t) = q_0 \exp\left(-\frac{t}{q_1}\right) + q_2$$

$$\begin{aligned} \delta g = & p_0 \exp\left\{-\frac{1}{p_1} \left(t(1 + q_2) - q_0 q_1 \exp\left(-\frac{t}{q_1}\right)\right)\right\} \\ & \times \left[\left\{ \exp\left(-\frac{t}{q_1}\right) \left(1 + \frac{q_1}{p_1} \left(1 + q_0 \exp\left(-\frac{t}{q_1}\right) + q_2\right)\right) \delta q_0 \right\}^2 \right. \\ & + \left. \left\{ q_0 \exp\left(-\frac{t}{q_1}\right) \left(\frac{t}{q_1^2} + \frac{1}{p_1} \left(1 + \frac{t}{q_1}\right) \left(1 + q_0 \exp\left(-\frac{t}{q_1}\right) + q_2\right)\right) \delta q_1 \right\}^2 \right. \\ & \left. + \left\{ \left(1 - \frac{t}{p_1} \left(1 + q_0 \exp\left(-\frac{t}{q_1}\right) + q_2\right)\right) \delta q_2 \right\}^2 \right]^{\frac{1}{2}} \end{aligned}$$

	$-\delta$	$-(3/4)\delta$	$-(1/2)\delta$	$-(1/4)\delta$	誤差補 正なし	$(1/4)\delta$	$(1/2)\delta$	$(3/4)\delta$	δ
ADC1	226	206	182	151	170	196	205	210	213
ADC2	212	193	170	142	177	207	219	226	231
ADC3	233	209	183	151	180	210	221	228	232

pick-off補正関数の誤差による寿命の幅はADC1で-19nsから+56ns、ADC2で-35nsから+54ns、ADC3で-29nsから+53nsとなった。

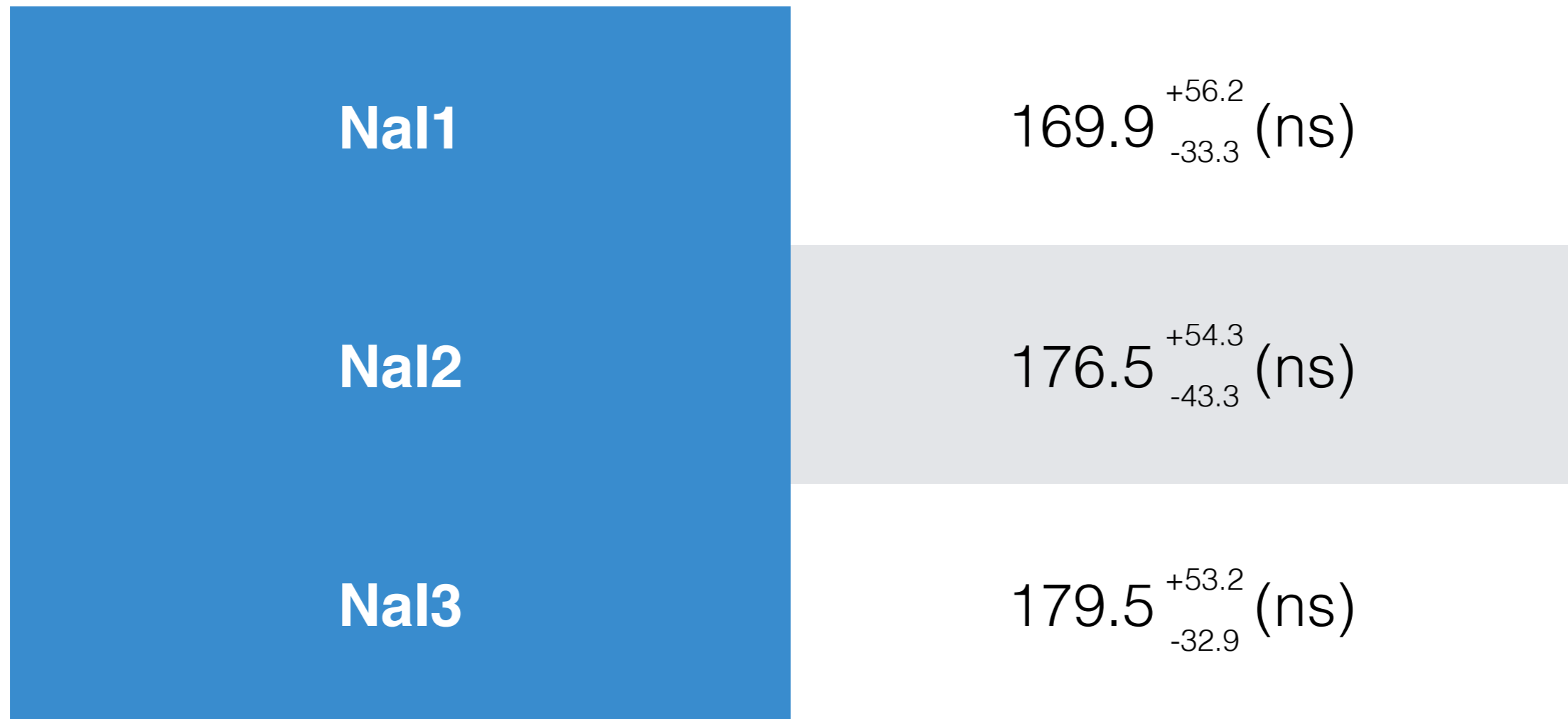
以上で求めたTQ補正に由来する誤差、pick-off補正関数に由来する誤差に加えて最終的なフィッティングによる誤差を正負に分けて以下の式で統合する。

$$\sigma_1^+ = \sqrt{(\sigma_{TQ1}^+)^2 + (\sigma_{po1}^+)^2 + (\sigma_{fitting1})^2}$$

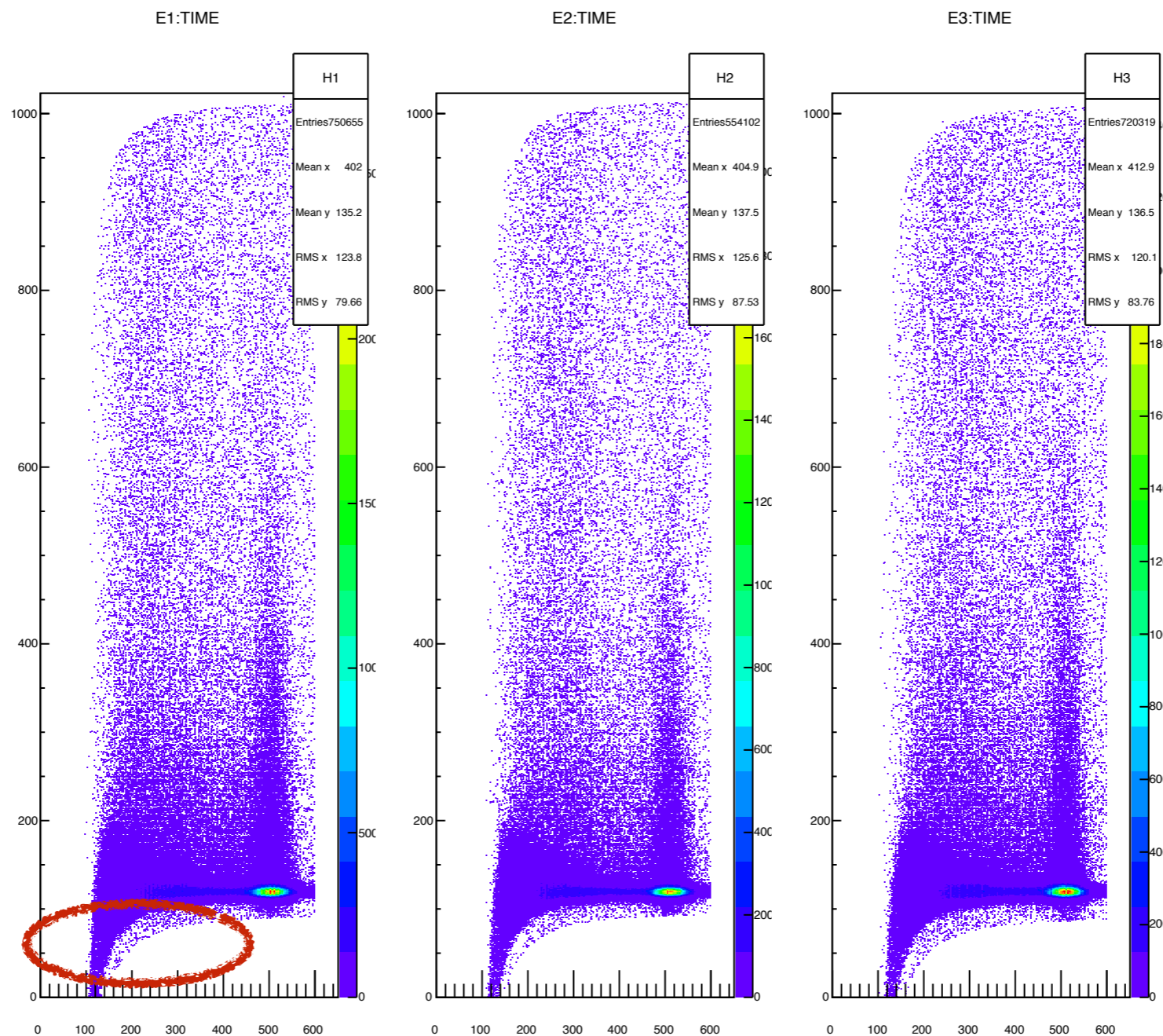
計算結果は以下のようなになる。

$$\begin{array}{ll} \sigma_1^+ = 56.2 & \sigma_1^- = 33.3 \\ \sigma_2^+ = 54.3 & \sigma_2^- = 43.3 \\ \sigma_3^+ = 53.2 & \sigma_3^- = 32.9 \end{array}$$

誤差伝搬を考慮した寿命



前章のNaI3の解析によって得られた寿命の値は179.5nsであり、理論値はこの統計誤差の中に入らない。また、他の2つについても測定値が理論値より長い傾向にある。

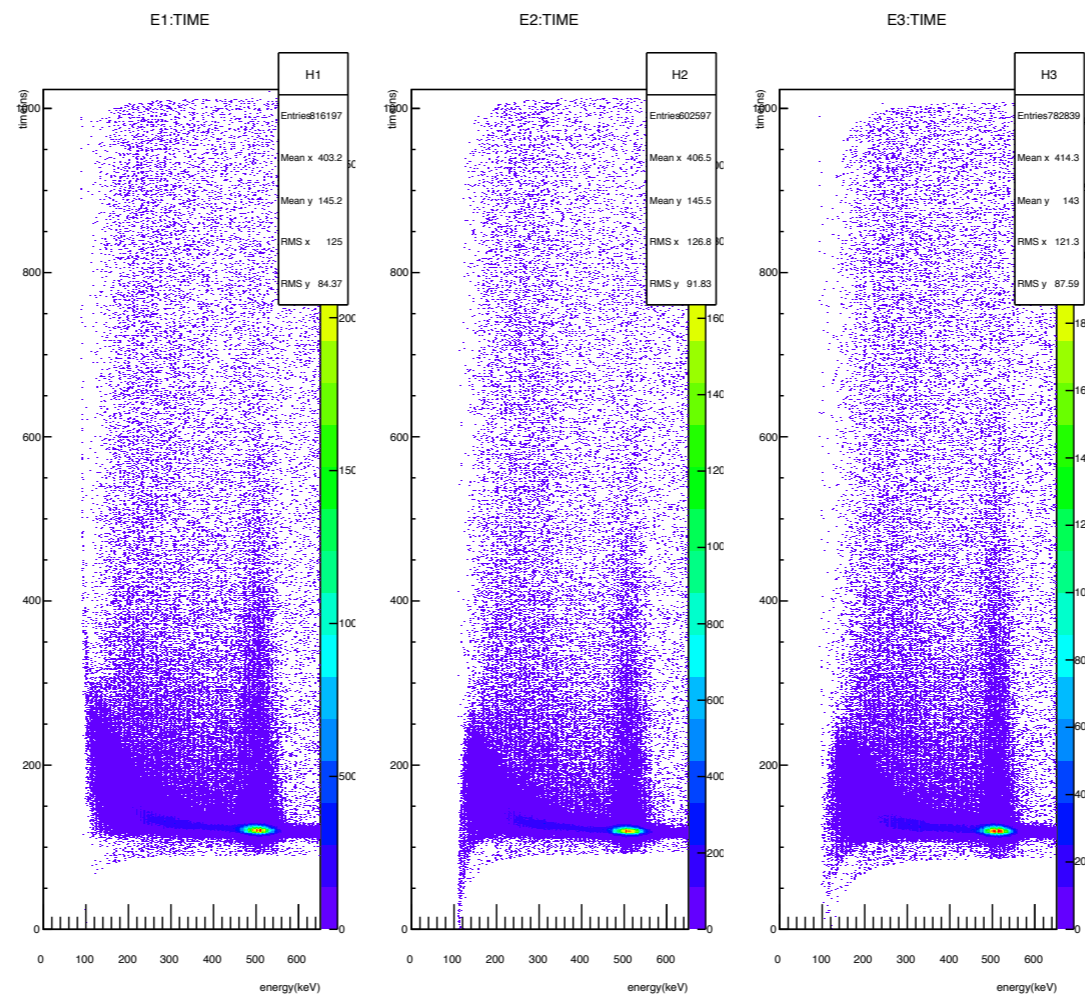


TQ補正後のエネルギー対時間の二次元分布図をもう一度見て

みると120nsよりも短い時間範囲に分布がある。

寿命算出のためのフィッティングにはこの範囲を含まないため

実質的にこのデータは捨てている事になる。



$\Delta T - \delta \Delta T$

先に確認したとおりこの関数でTQ補正を行うと $\delta \Delta T$ を考慮し
 なかった場合に比べて短い寿命が出る。

→スレッシュホールドを下げれば測定される時間が真の値に近づき
 TQ補正関数の重みが減るためこの問題を修正できると期待さ
 れる。

ご静聴ありがとうございました

2.2 ポジトロニウムの崩壊

荷電共役変換（C 変換）の下での演算子の関係は、

$$b^{(s)\dagger} \leftrightarrow d^{(s)\dagger} \quad (2.1)$$

となる。但し、 $b^{(s)\dagger}$ は電子の生成演算子、 $d^{(s)\dagger}$ は陽電子の生成演算子である。相対運動量がゼロの系を考えると、3重項状態は次のように変換する。

$$\begin{aligned} (\uparrow)_{e^-} (\uparrow)_{e^+} &= b^{(1)\dagger}(\mathbf{0}) d^{(1)\dagger}(\mathbf{0}) |0\rangle \\ &\xrightarrow{\text{charge conj}} d^{(1)\dagger}(\mathbf{0}) b^{(1)\dagger}(\mathbf{0}) |0\rangle = -b^{(1)\dagger}(\mathbf{0}) d^{(1)\dagger}(\mathbf{0}) |0\rangle \end{aligned} \quad (2.2)$$

したがって3重項状態の C-パリティは奇である。同様にして1重項状態の C-パリティが偶であることも確認できる。

$$\begin{aligned} \frac{1}{\sqrt{2}} [(\uparrow)_{e^-} (\downarrow)_{e^+} - (\downarrow)_{e^+} (\uparrow)_{e^+}] &= \frac{1}{\sqrt{2}} [b^{(1)\dagger}(\mathbf{0}) d^{(2)\dagger}(\mathbf{0}) - b^{(2)\dagger}(\mathbf{0}) d^{(1)\dagger}(\mathbf{0})] |0\rangle \\ &\xrightarrow{\text{charge conj}} \frac{1}{\sqrt{2}} [b^{(1)\dagger}(\mathbf{0}) d^{(2)\dagger}(\mathbf{0}) - b^{(2)\dagger}(\mathbf{0}) d^{(1)\dagger}(\mathbf{0})] |0\rangle \end{aligned} \quad (2.3)$$

一方 j_μ は C 変換によって符号が変わるので電磁場 A_μ は荷電共役変換に関して奇であるが、相互作用密度 $-j_\mu A_\mu$ は不変でなければならない。 \mathbf{A} は $a_{\mathbf{k},\alpha}^\dagger$ と $a_{\mathbf{k},\alpha}$ を1次の形で含むので、これは横波電磁場の生成演算子と消滅演算子が荷電共役変換の元で符号を変えることを含意する。

$$a_{\mathbf{k},\alpha}^\dagger \xrightarrow{\text{charge conj}} -a_{\mathbf{k},\alpha}^\dagger, \quad a_{\mathbf{k},\alpha} \xrightarrow{\text{charge conj}} -a_{\mathbf{k},\alpha} \quad (2.4)$$

上の演算子の変換則からの直接の帰結として、偶数（奇数）の光子を含む系は、荷電共役変換に関して偶（奇）だということになる。

$$a_{\mathbf{k}_1,\alpha_1}^\dagger a_{\mathbf{k}_2,\alpha_2}^\dagger \cdots a_{\mathbf{k}_n,\alpha_n}^\dagger |0\rangle \xrightarrow{\text{charge conj}} (-1)^n a_{\mathbf{k}_1,\alpha_1}^\dagger a_{\mathbf{k}_2,\alpha_2}^\dagger \cdots a_{\mathbf{k}_n,\alpha_n}^\dagger |0\rangle \quad (2.5)$$

上の多光子系の変換則は、各光子の運動量や偏極方向にはよらずに成立する。Ps の崩壊に戻ると、相互作用が荷電共役変換の下で不変であれば、次の規則が成立する。

$$\begin{aligned} 3 \text{ 重項 } ({}^3S) &\longrightarrow \text{奇数光子系} \\ 1 \text{ 重項 } ({}^1S) &\longrightarrow \text{偶数光子系} \end{aligned} \quad (2.6)$$

ここで、具体的な証明は省くが、

- 運動学的に光子を 1 個だけ放出して対消滅する過程は許されない。
- QED によると相互作用の結合定数は微細構造定数であるために高次の寄与が小さくなる。

という事情により、o-Ps は 3 個の光子に、p-Ps は 2 個の光子に崩壊する。

$${}^3S \rightarrow 3\gamma, \quad {}^1S \rightarrow 2\gamma \quad (2.7)$$

これを計算していくと、2光子放射型 e^-e^+ 対消滅の断面積は

$$d\sigma = (2\pi)^4 \frac{1}{v_{\text{rel}}} \frac{1}{2E_+} \frac{1}{2E_-} |\mathcal{M}_{fi}|^2 (2m)^2 \frac{d^3k_1}{(2\pi)^3 2\omega_1} \frac{d^3k_2}{(2\pi)^3 2\omega_2} \delta^{(4)}(p_+ + p_- - k_1 - k_2) \quad (2.28)$$

となる。したがって、スピンを平均した全断面積は

$$\begin{aligned} \sigma^{\text{tot}} &= \frac{1}{2} \int \left(\frac{d\sigma}{d\Omega} \right) d\Omega \\ &= \frac{r_0^2}{4\beta_+} 2 \times 2\pi = \frac{\pi r_0^2}{\beta_+}, \quad (\beta_+ \ll 1) \end{aligned} \quad (2.29)$$

となる。

2.3.4 Ps の寿命

式 (2.29) から Ps の寿命を計算する。まず $\sigma^{\text{tot}}v_+\rho$ という量が単位体積に電子が一つある場合の陽電子の平均寿命の逆数であるので、

$$R = \sigma^{\text{tot}}v_+\rho \quad (2.30)$$

は電子密度 ρ の下での陽電子の平均寿命の逆数にあたる。Ps の Bohr 半径が水素原子の 2 倍であるので、基底状態において、

$$\rho = |\psi_{1s}(\mathbf{x} = \mathbf{0})|^2 = \frac{1}{\pi(2a_0)^3} \quad (2.31)$$

となる。この束縛系における電子（陽電子）の速度は光速の $1/137$ 倍のオーダーなので、Ps の寿命を評価するために、式 (2.31) において $\lim_{\beta_+ \rightarrow 0}$ を適用してよい。基底状態に関して次の結果が得られる。

$$\begin{aligned} \Gamma(n=1, {}^1S \rightarrow 2\gamma) &= \lim_{v_+ \rightarrow 0} 4\sigma_{(\text{unpol})}^{\text{tot}}v_+|\psi_{1s}(\mathbf{x} = \mathbf{0})|^2 \\ &= 4\pi \left(\frac{\alpha}{m} \right)^2 \frac{1}{\pi(2/\alpha m)^3} = \frac{1}{2} \alpha^5 m \end{aligned} \quad (2.32)$$

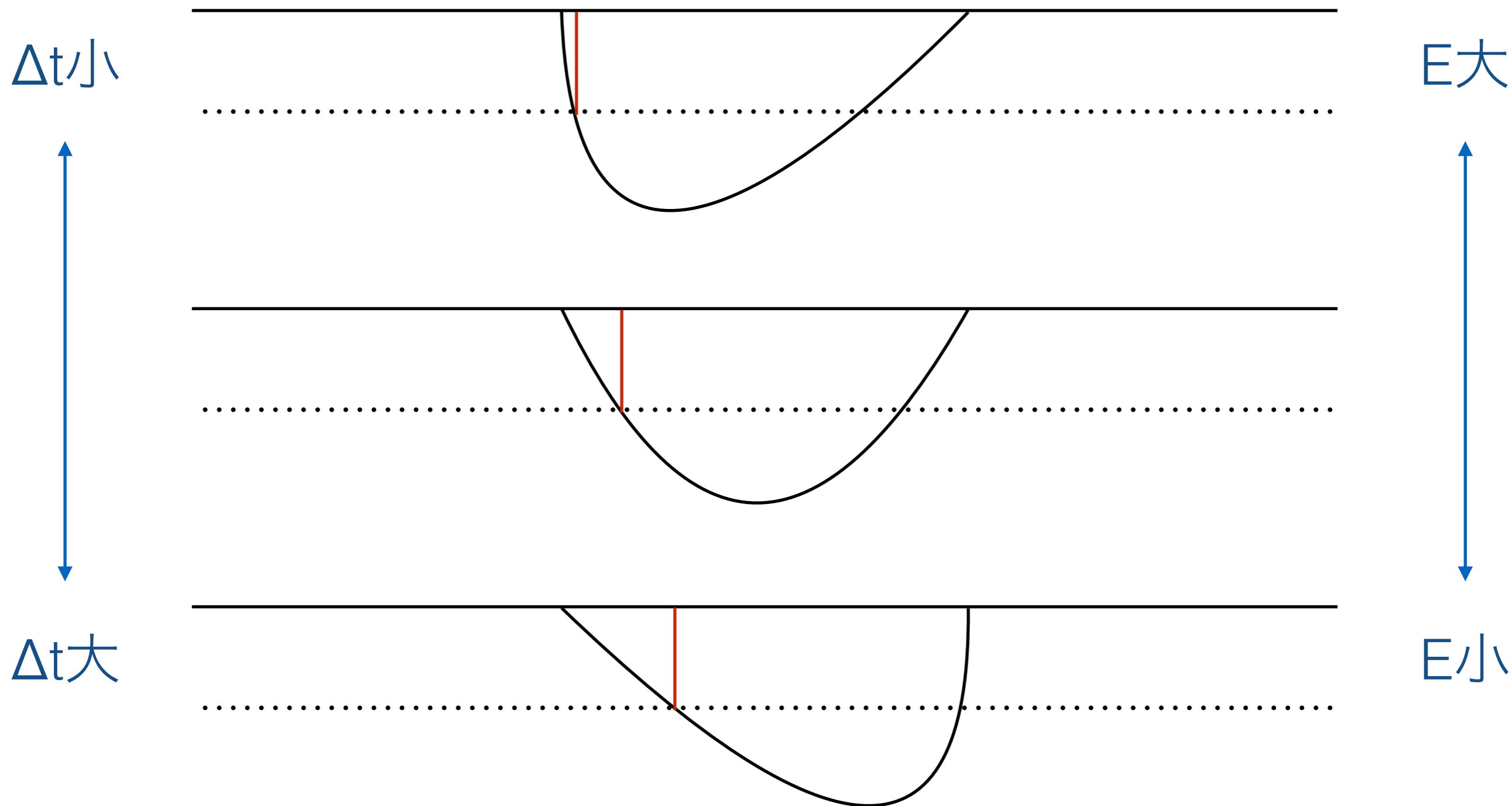
よって $n=1$ の 1S 状態の平均寿命は、

$$\tau_{\text{singlet}} = \frac{2}{\alpha^5 m} \simeq 0.125 \text{ ns} \quad (2.33)$$

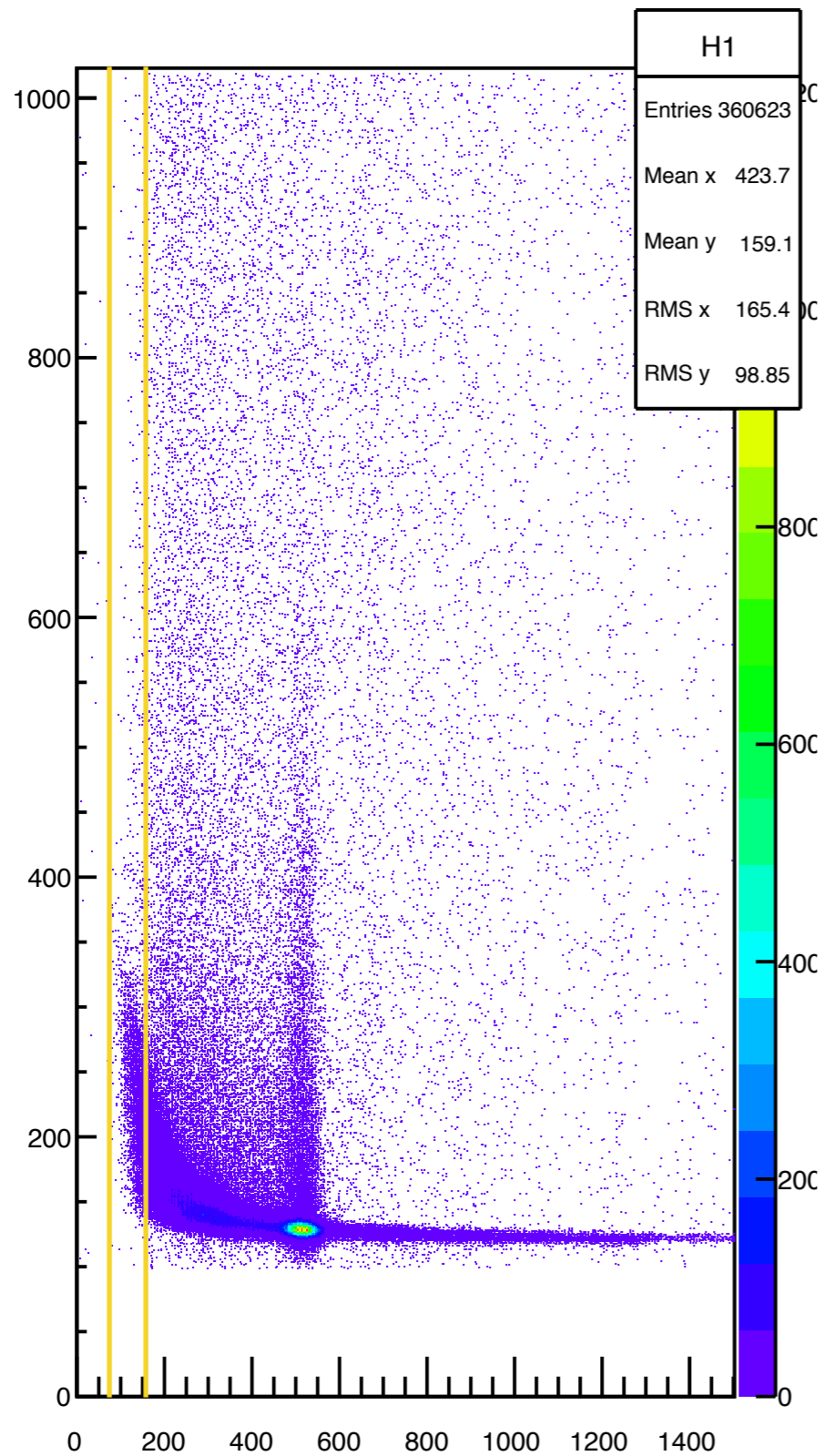
となる。一方 3S 状態は光子 3 個に崩壊するので、もうひとつ e の次数が増え、寿命が $(1/\alpha)$ 倍ほど長くなると予想される。実際の結果は $n=1$ の s 波束縛状態において、次のようになる。

$$\frac{\tau_{\text{triplet}}}{\tau_{\text{singlet}}} = \frac{9\pi}{4(\pi^2 - 9)\alpha} \simeq 1115, \quad \tau_{\text{triplet}} \simeq 139 \text{ ns} \quad (2.34)$$

波形が時間とエネルギーの測定値に及ぼす影響



E1:TIME



比較的tが大きい範囲にエネルギーの低いイベントがある。
→低エネルギー帯の時間分布の広がりには確かに波形に依っている？
→濃い部分が120nsに集中するのなら $\Delta T - \delta\Delta T$ の補正で単純に上げるよりも更に寿命は短くなるはず